



مروفی بر ق تعالیٰ و طراح
پلاستیک سازه های فولادی
در سنامه، کاربردها و مثال های
نگاری

مهندس شادی سلیمی مقدم
مهندس علیرضا صالحین

تقدیم نامه:

با کمال افتخار و احترام تقدیم به تمامی تکاوران زحمتکش تیپ ۶۵
نوهد ارتش جمهوری اسلامی ایران - مهندس علیرضا صالحین



مقدمه مترجمین

کتاب پیش روی شما ترکیبی از دو منبع به روز دنیا در زمینه تحلیل و طراحی پلاستیک سازه های فولادی می باشد. نخستین بخش کتاب متعلق به مرجع ارزشمند مایکل برونوو، ویرایش دوم کتاب *Ductile Design of Steel Structures* می باشد. کتاب مذکور پیشتر توسط مدیر علمی همین انتشارات ترجمه شده بود، اما برخی از فصول در رابطه با تحلیل، طرح و کاربرد روش پلاستیک در آن ترجمه قرار نگرفته بود، در هر حال، این بخش کتاب به نوعی مکمل کتاب "دیتیل ها و طراحی ساختمان های فولادی مقاوم در برابر زلزله با رویکرد رفشارشناسی اعضاء به روش LRFD" می باشد، همچنین علاوه بر فصول کتاب مذکور از ویرایش دوم کتاب به روز و معتبر مک نزی با نام "Examples for Structural Analysis" بخش تحلیل پلاستیک که درس نامه همراه با حل مثال های متعددی در حالات مختلف می باشد، استفاده گردیده است.

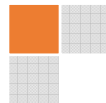
اثر پیش رو را می توان برای مطالعه بیشتر و عمیق تر بر مباحث تحلیل و طراحی پلاستیک، به خصوص نکات کاربردی آن در مباحث به روز، طرح بهینه و لرزه ای به کار برد. این کتاب را نمی توان کتابی از کاملاً آموزشی از صفر تا صد برای تحلیل و طراحی پلاستیک در نظر گرفت و کاربران محترم می بایستی مطالعات بر روی تحلیل و طرح پلاستیک (خمیری) سازه ها را (در دانشگاه یا مطالعات شخصی) در این زمینه داشته باشند. بنابراین توصیه میگردد که پیشتر از مطالعه این کتاب مطالعات ابتدایی روی تحلیل و طرح پلاستیک سازه ها انجام گردد تا بتوان نهایت استفاده را از این کتاب جست. گرچه، در این کتاب، مباحث از پایین ترین سطح تا کاربردی ترین و پیچیده ترین سطوح برسی شده اند.

به منظور صرفه جویی بیشتر در کاغذ (تا حد ممکنه) تلاش بر آن بوده که از فونت بهینه، اشکال در ابعاد مناسب استفاده گردد. همچنین مجموعه تمرین های انتهایی فصول نیز حذف گردیده است. این سری از تمرینات همراه با مجموعه عظیمی دیگر از کتب در کanal تلگرامی <https://t.me/seismicisolation> موجود می باشد، کافیست که هر یک از کتب یا کلید واژه های جستجو گردد تا منابع مورد نظر سریعاً در دسترس مخاطب محترم قرار گیرد، بنابراین دیگر نیازی به همراه بودن DVD برای این کتاب نمی باشد.

با تمام تلاش های صورت گرفته این کتاب خالی از نقص و ایراد نخواهد بود. بنابراین، ضمن پوشش از خوانندگان عزیز به دلیل نقايس احتمالی، اشتباها چاپی، پایین بودن کیفیت یکسروی از تصاویر (که نتواستیم کیفیت بهتری از تصاویر مذکور را تهیه نماییم) از عزیزان خواننده تقاضا می شود نظرات و پیشنهادات خود را که می تواند به رفع نواقص و ارتقاء سطح علمی کتاب در چاپ های بعدی کمک کند، از طریق انتشارات (۶۶۹۵۳۷۷۴ - ۶۶۴۱۰۸۸) یا شناسه تلگرام @alirezasalehin به ما انتقال دهید. در آخر لازم می دانم از زحمات و دلسوزی های سرکار خانم مهندس مقدم که با وسوس و دلسوزی مثال زدنی در امر ترجمه این اثر نهایت همکاری مخلصانه را انجام داده اند، کمال تشکر نمایم. همچنین از جناب آقایان علیرضا و رسول فرهمندزادگان که همیشه در زمینه چاپ و نشر کتاب حقیر را پشتیبانی نموده اند نیز به نوبه خود تشکر می نمایم.

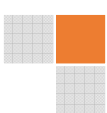
مهندس علیرضا صالحین - مهندس شادی مقدم

بهار ۱۳۹۷



فهرست مطالب

فصل اول- رفتار پلاستیک در سطح، سطح مقطع صفحه ۱۲۳
فصل دوم- مفاهیم تحلیل پلاستیک صفحه ۱۲۳
فصل سوم- روشهای سیستماتیک تحلیل پلاستیک صفحه ۱۲۳
فصل چهارم- کاربردهای تحلیل پلاستیک صفحه ۱۲۳
فصل پنجم- تحلیل پلاستیک، به همراه مثال های عددی کاربردی صفحه ۱۲۳
دیکشنری تخصصی صفحه ۱۲۳



فصل اول: رفتار پلاستیک در سطح، سطح مقطع

هنگامیکه مشخصاتصالح بدست می‌آید و یک مدل تحلیلی تنش-کرنش مناسب فرمول‌بندی می‌شود، ظرفیت‌های پلاستیک در سطح مقطع عرضی (که یک فاز مهم از تحلیل پلاستیک می‌باشد) را می‌توان محاسبه کرد. محاسبه این ظرفیت‌ها که پیچیدگی خاص خود را دارد، در درجه اول بر مقاومت‌های برآیند پلاستیک عضو و سازه تاثیر می‌گذارد. بدین دلیل که تحلیل پلاستیک برای محاسبه ظرفیت‌های نهایی سازه استفاده می‌گردد، اگر مدل مقطع عرضی بیش از اندازه ساده‌سازی شود، خطاهای زیادی در نتایج رخ داده و سازه سطح اینمی کافی را نخواهد داشت. از این‌رو مرور چگونگی حالات مختلف که برای مشخصات مقطع عرضی رخ می‌دهد، بسیار ارزشمند و حائز اهمیت می‌باشد.

۱-۱- تسلیم خمشی خالص

مهندسانی که از طراحی حالات حدی یا مقاومت نهایی استفاده می‌کنند، با حالت اساسی تسلیم خمشی خالص آشنایی دارند. برخی از فرضیات ساده شده برای محاسبه ظرفیت ممان پلاستیک به شرح زیر است:

- مقاطع مسطح، مسطح باقی می‌ماند؛ اگرچه معمولاً تغییرشکل‌های پلاستیک از تغییرشکل‌های الاستیک بزرگ‌تر هستند، اما بزرگی کلیت آنها به اندازه کافی برای ارضاء این شرایط کوچک می‌باشد.
- اعضای سازه‌ای باید منشوری بوده و حداقل یک محور تقارن موازی با جهت بارگذاری داشته باشد.
- اعضا در معرض خمش تک محوره تحت بارگذاری یکنواخت افزایشی قرار دارد (محور خنتی عمود بر محور تقارن است).

تغییرشکل‌های برشی نادیده گرفته می‌شود.

- از ناپایداری اعضا (کمانش موضعی بال، کمانش موضعی جان و کمانش پیچشی-جانبی) اجتناب می‌گردد.
- اعضای سازه‌ای نباید در معرض نیروهای محوری، پیچشی یا برشی قرار گیرد. این فرض در بخش‌های بعدی این فصل تشریح می‌گردد.

مدل الاستوپلاستیک کامل، معمولاً جهت محاسبه ظرفیت‌های ممان پلاستیک بکار می‌رود و نتایج قابل قبولی را برای اکثر مسائل عملی در مهندسی سازه حاصل می‌نماید (ASCE ۱۹۷۱). از این‌رو سر رشته قرار می‌گردد. با این حال چیزی مانع در نظر گرفتن مدل‌های پیچیده‌تر نمی‌شود (یا فرضیات اصلی کمی برای آن موضوع). به همین دلیل مقاومت‌های متناظر با مقطع عرضی و دیگر مشخصات پلاستیک مربوطه را می‌توان از مفاهیم اساسی که اینجا ارائه می‌شود، تعیین کرد.

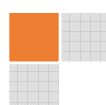
۱-۱-۱- مقاطع متقارن دو محور

به دلیل آنکه محور خنتی مقاطع متقارن دو محوره در مرکز هندسی آن واقع شده است، این مقاطع جزء ساده‌ترین مقاطع عرضی می‌باشند که عبارات تحلیلی مقاومت پلاستیک آنها را می‌توان توسعه داد. برای یک مقطع عرضی با مدل مصالح الاستوپلاستیک کامل، دیاگرام‌های تنش را می‌توان بطور مستقیم از دیاگرام‌های کرنش مطابق با شکل ۱-۱، برای سطوح مختلف کرنش‌های افزایشی یک مقطع متقارن دو محوره دلخواه، بدست آورد.

در هر نقطه‌ای در طول بارگذاری (نظیر آنچه در شکل ۱-۱ نشان داده شده است)، \emptyset انحناء مقطع عرضی می‌باشد که با روابط هندسی ساده به صورت زیر محاسبه می‌شود:

$$\emptyset = \frac{\varepsilon_{max}}{(h/2)} \quad (1-1)$$

که در آن، ε_{max} حداکثر کرنش در مقطع عرضی متقارن دو محوره و h عمق مقطع می‌باشد. اگر در یک انحناء داده شده: y کرنش تسلیم باشد و مطابق با شکل ۱-۱ در فاصله y از محور خنتی واقع شده باشد، با استفاده از تشابه مثلثات داریم:

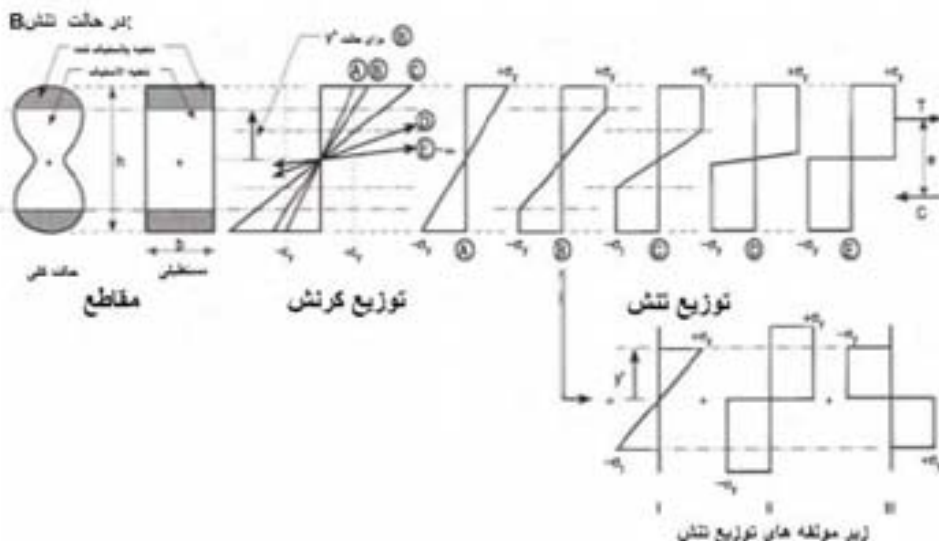


$$\emptyset = \frac{\varepsilon_{max}}{(h/2)} = \frac{\varepsilon_y}{y^*} \quad y^* = \left(\frac{h}{2} \right) \frac{\varepsilon_y}{\varepsilon_{max}}$$

زمانیکه برای یک انحناء معین، y^* تعیین میگردد، ممان های متناظر، با استفاده از اصول ساده مقاومت مصالح با روشی ساده محاسبه می شود:

$$(3-1) M = \int_{-h/2}^{h/2} \sigma y \, dA = \int_{-h/2}^{h/2} \sigma y b(y) \, dy$$

که در آن، b عرض مقطع می باشد که به عنوان تابعی از y بیان شده است.



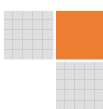
شکل ۱-۱- توزیع تنش و گرنش در محدوده پلاستیک اعضا با مقطع متران

برای هر انحناء معین، مقطع عرضی را میتوان به دو ناحیه الاستیک و پلاستیک تقسیم کرد. ناحیه الاستیک در محدوده $y \leq \bar{y}$ از محور خنثی میباشد. خارج از این ناحیه، هسته الاستیک نامیده میشود که گرنشها از $y = \bar{y}$ فراتر میروند و مصالح پلاستیک میشود. با افزایش انحناء، هسته الاستیک به صورت پیشرونده منقبض گردیده و پلاستیک شدگی به صورت پیشرونده در سراسر مقطع عرضی گسترش مییابد.

تأثیر این رشد پیشرونده در ناحیه پلاستیک شده بر رابطه ممان-شیب با مطالعه موردی قابل درک میباشد. جهت ساده سازی از یک مقطع عرضی مستطیلی استفاده میشود. محاسبات بطور مستقیم با پروفیل های گرنش که در شکل ۱-۱ مشخص شده است، مرتبط میباشد که در آن از یک مقطع مستطیلی با ارتفاع h و عرض مقطع b استفاده شده است. برای مثال در محدوده الاستیک، ممان خمنی و انحناء به صورت زیر بدست میآید:

$$M = S\sigma = \left(\frac{bh^2}{E} \right) \sigma \emptyset = \left(\frac{M}{bh^2} \right) E \emptyset \quad (4-1)$$

که در آن، S مدول مقطع میباشد. برای توزیع گرنش الف در شکل ۱-۱، گرنش تسليم در فايير بالايي مقطع عرضی قرار دارد. هنگامیکه در معادله بالا σ جایگزین σ_y میشود، ممان تسليم: M_y و انحنای تسليم: \emptyset_y میگردد که در واقع نقطه انتقال رفتار الاستیک خالص و الاستیک پلاستیک میباشد. از آن نقطه به بعد هرگونه افزایش در انحناء بیانگر پلاستیک شدگی نسبی مقطع عرضی میباشد که گاهی جريان پلاستیک محدود (contained plastic flow) نامیده میشود. برای مثال، برای یک پروفیل دلخواه گرنش که با حالت ب در شکل ۱-۱ بیان میشود، انحناء از معادله ۱-۱ و ممان متناظر را میتوان به صورت تابعی از y بیان کرد:



$$M = 2 \int_{y^*}^{y^*} \sigma_y b dy + 2 \int_{y^*}^{h/2} \sigma_y y b dy \quad (5-1)$$

که اولین عبارت آن سهم هسته الاستیک به مقاومت خمشی و عبارت دوم ناحیه پلاستیک شده را نشان می‌دهد. با استفاده از رابطه $\sigma/\sigma_y = y/y^*$ در سراسر هسته الاستیک به صورت زیر بازنویسی می‌شود:

$$M = \left[\frac{2\sigma}{y^*} \int_{y^*}^{y^*} y^* dy + 2 \int_{y^*}^{h/2} y dy \right] \sigma_y = \frac{2}{3} b(y^*)^2 \sigma_y + \frac{bh^3}{4} \sigma_y - b(y^*)^2 \sigma_y \quad (1-6)$$

قابل توجه است، سه عبارت سمت راست این معادله متناظر با سهم‌های ممان می‌باشد که مطابق با شکل ۱-۱ از تجزیه قسمتی از دیاگرام تنش به زیر دیاگرام‌های I و III بست می‌آید. در این روش اضافه یا کم کردن دیاگرام‌های تنش، یک روش صحیح استاتیکی می‌باشد که آن را می‌توان برای ساده‌سازی مسائل پیچیده و صحت روش ترسیمی برای نتایج تحلیلی بدست آمده با فایده دانست. در این روش بهتر است به عنوان آخرین راه حل از روش انتگرال‌گیری استفاده شود (معادله ۱-۵ و ۱-۶). زیرا این روش نسبت به روش مستقیم با دیاگرام‌های تنش و بازوهای اهرمی وارد بر مقطع عرضی با شکل منظم، دارای زمان محاسبات و خطای بیشتری می‌باشد. مهم‌تر از همه اینکه در روش دوم، به جای استفاده از ریاضیات، از فیزیک مسئله استفاده می‌شود که برای قضاویت مهندسی مفیدتر است.

جهت تکمیل بحث، بهتر است که روابط با عبارت‌های $(y^*)^2$ (بازنویسی شود و نتایج بر حسب انحناء بیان گردد).

بنابراین زمانیکه از رابطه زیر استفاده می‌شود (مجدداً از روابط تشابه مثلاً استفاده می‌گردد):

$$\frac{y^*}{h/2} = \frac{\varepsilon_y}{\varepsilon_{max}} = \frac{\emptyset_y}{y} = \frac{\emptyset_y}{\emptyset} \quad (1-1)$$

این عبارت برای ممان خمشی در یک انحنای معین (به عنوان مثال رابطه ممان-شیب) به صورت زیر می‌شود:

$$M = \left[\frac{bh^2}{4} - \frac{bh^2}{12} \left(\frac{\emptyset_y}{\emptyset} \right)^3 \right] \sigma_y \quad (8-1)$$

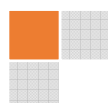
در صورت امکان بهتر است عبارت‌های (M/M_y) و (\emptyset/\emptyset_y) (جهت نرمال کردن بکار رود. برای مثال هنگامیکه

معادله ۱-۴ جهت رسیدن به ممان تسلیم بکار می‌رود، نتیجه نهایی به صورت زیر می‌شود:

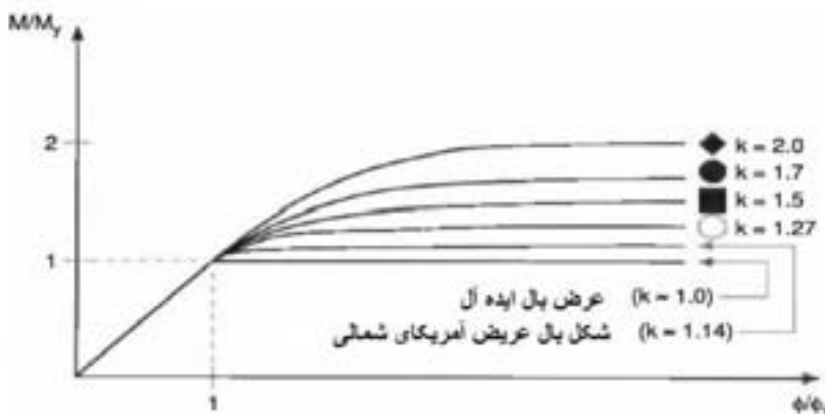
$$\frac{M}{M_y} = \frac{3}{2} \left[1 - \frac{1}{2} \left(\frac{\emptyset_y}{\emptyset} \right)^3 \right] = \frac{3}{2} \left[1 - \frac{1}{2} \left(\frac{\varepsilon_y}{\varepsilon_{max}} \right)^3 \right] \quad (9-1)$$

بخش دوم از این معادله، بر حسب عبارت‌های نسبت کرنش که از همارزی ساده‌ای که بین کرنش‌ها و انحناء‌ها وجود دارد، بدست می‌آید.

هنگامیکه معادلات ۱-۴ و ۱-۹ در محدوده مورد اعتبار خود بکار می‌روند، کل رابطه ممان-شیب را می‌توان برای این مقطع عرضی محاسبه و رسم نمود که برای مقاطع مختلف در شکل ۲-۱ در قالب نمودار رسم شده است. شکل ۱-۱ و معادله ۱-۹ نشان می‌دهند، از لحاظ تئوری برای هر مقطع عرضی پلاستیک‌شدنی کامل و ممان خمشی ماکریم م تنها در انحناء بی‌نهایت به وقوع می‌پیوندد (طراحی ه در شکل ۱-۱). حداقل ممان در مقطع مستطیلی ۱,۵ برابر ممان تسلیم می‌باشد که به راحتی از ساده کردن معادله ۱-۹ بدست می‌آید. هرچند برای اهداف عملی همانطور که در شکل ۲-۱ مشاهده می‌شود، حداقل ممان سریعاً تقریب زده می‌شود و تقریباً به سه یا چهار برابر انحناء تسلیم می‌رسد. در حقیقت، هنگامیکه کرنش ماکریم در سراسر مقطع عرضی به نقطه شروع سخت‌شدنی کرنشی مصالح فولادی که تقریباً ۱۰ برابر مقدار کرنش تسلیم است، نزدیک می‌شود، معادله ۱-۹ نشان می‌دهد که به ۹۹,۷٪ از ممان ماکریم رسیده است. این حاکی از آن است



که می‌توان از یک مقطع کاملاً پلاستیک شده جهت محاسبه ممان ماکریم که از آن به عنوان "ممان پلاستیک" یاد می‌شود، استفاده کرد.



شکل ۱-۲- رابطه ممان شبیه نرمال شده و ضریب شکل خمی k برای مقاطع عرضی مختلف

به عنوان مثال، برای مقطع عرضی مستطیلی می‌توان ممان پلاستیک را بطور مستقیم با استفاده از برآیند نیروها و بازوی اهرمی مطابق با توزیع تنش ۵ در شکل ۱-۱ به صورت زیر محاسبه کرد:

$$(10-1) M_p = 2\sigma_y \left(\frac{e}{\frac{b}{2}} \right) = 2 \left[\sigma_y \left(\frac{h}{2} \right) b \right] \left(\frac{h}{\frac{b}{4}} \right) = \frac{bh^3}{4} \sigma_y = Z \sigma_y = 1.5 M_y$$

که در آن، Z مدول مقطع پلاستیک می‌باشد که با توجه به ویژگی‌های هندسی مقطع عرضی تعیین می‌گردد. در ضمن عبارت جبری فوق برای مقطع مستطیلی (یعنی، $bh^2/4$) بطور وسیعی جهت محاسبه ممان پلاستیک برای اشکال سازه‌ای که دارای قسمت‌های مستطیلی هستند، استفاده می‌شود.

یکی دیگر از ویژگی‌های مفید مقطع ضریب شکل k می‌باشد که به صورت نسبت مدول مقطع پلاستیک به مدول مقطع الاستیک تعریف می‌گردد. این ضریب به صورت زیر بیان می‌گردد:

$$(11-1) k = \frac{M_p}{M_y} = \frac{Z}{S}$$

که اطلاعاتی را در مورد مقاومت اضافی موجود مقطع عرضی فراتر از اولین تسلیم‌شدنی مهیا می‌سازد. ضرایب شکل برای مقاطع مختلف در شکل ۱-۲ نشان داده شده است. برای مقاطع بال پهن که معمولاً برای ساخت و سازه‌های آمریکای شمالی بکار می‌رود (CISC 2010 و AISC 2011)، ضرایب شکل بین ۱,۱۶ الی ۱,۱۲ تغییر می‌کند که بطور میانگین ۱,۱۴ می‌باشد. علاوه بر این، عبارات ممان انحنای نرمال شده را می‌توان به صورت زیر به دست آورد:

- هنگامی که y^* در بال قرار می‌گیرد:

$$(12-1) \frac{M}{M_y} = \frac{\phi}{\phi_y} \left(1 - \frac{bd^2}{\frac{bh^3}{4}} \right) + \frac{bh^2}{\frac{bh^3}{4}} \left[1 - \frac{1}{\frac{1}{4}} \left(\frac{\phi_y}{\phi} \right)^2 \right]$$

- هنگامی که y^* در جان قرار می‌گیرد:

$$(13-1) \frac{M}{M_y} = \frac{M_p}{M_y} - \left(\frac{wd^2}{\frac{bh^3}{4}} \right) \left(\frac{\phi_y}{\phi} \right)^2$$

که در آن، b پهنای بال، d عمق کل مقطع سازه، h فاصله بین بال‌ها (یا طول جان)، w ضخامت جان می‌باشد و بقیه عبارت‌ها نیز قبلًا تعریف شده‌اند. در این حالت M_p را می‌توان از برآیند نیروهای محاسبه شده به صورت جداگانه از تنش تسلیم ثابتی که در بال‌ها و جان موجود است، برآورد کرد و بازوری اهرمی مربوطه آنها مجددًا با استفاده از معادله ۱۰-۱ با

کم کردن مقدار M_p برای مستطیلی به عرض b و ارتفاع h از ممان مستطیلی به عرض b و ارتفاع d بدست می‌آید. در هر دو مورد از روش‌های محاسبه دستی معمولاً از مساحت گوشه‌های گرد شده که بال‌ها به جان متصل می‌شوند، صرف نظر می‌شود. اما در دستورالعمل‌های طراحی معمولاً در ویژگی مصالح که در جداولی ارائه می‌شود، در نظر گرفته می‌شود.

اصول اساسی مقاومت مصالح نشان می‌دهد، یک مقطع بال پهن ایده‌آل بوسیله بال‌های با خصامت بی‌نهایت کوچک خود که بیشتر مصالح نیز در آن متتمرکز شده است، در مقابل خمس مقاومت می‌کند (واضح است که یک حالت تئوری غیر عملی می‌باشد). ضریب شکل چنین مقطع ایده‌آل واحد می‌گردد، به دلیل اینکه تمام مقطع عرضی بطور همزمان به کرنش تسخیم می‌رسد و به دلیل اینکه فرض می‌شود هیچگونه مصالحی بین بال‌ها وجود ندارد، گسترش پلاستیک شدگی نیز نخواهیم داشت. از اینرو مدول مقطع پلاستیک و الاستیک در این حالت برابر با مساحت یک بال در فاصله بین دو بال می‌گردد.

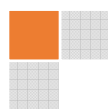
۱-۲- مقاطع متقارن تک محوره

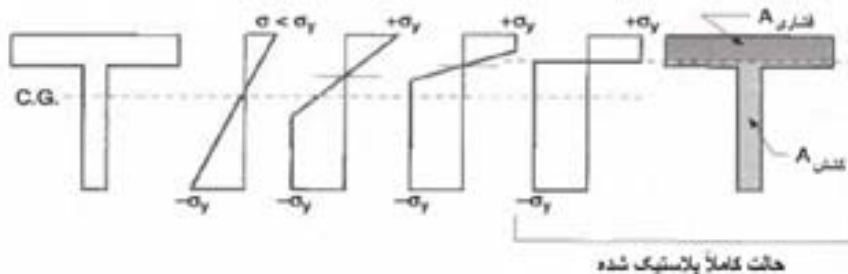
روش توسعه یافته بالا برای مقاطعی که تنها یک محور تقارن موازی با بار اعمالی دارند نیز بکار می‌رود، با این تفاوت که در این حالت باید محور خنثی با صراحت مشخص گردد. بنابراین برای هر انحنای معین، محاسبات باید با تعیین محور خنثی انجام بپذیرد. مواردی وجود دارد که این محاسبات به نسبت ساده می‌شود. اول اینکه؛ تا زمانیکه مصالح کاملاً پلاستیک خطی می‌باشد، موقعیت محور خنثی در مرکز هندسی مقطع عرضی باقی می‌ماند. دوم؛ زمانیکه مصالح کاملاً پلاستیک می‌باشد، محور خنثی باید به نحوی قرار گیرد که مساحت مقطع عرضی به دو قسمت مساوی تقسیم گردد. مورد دوم هنگامی اتفاق می‌افتد که کل مقطع عرضی تحت تنفس تسخیم کششی و یا فشاری قرار گیرد. برآیند نیروهای محوری در مقطع عرضی:

$$P = \int_{\text{area}} \sigma dA = A_{\text{attention}} \sigma_y + A_{\text{compression}} (-\sigma_y) = \cdot \rightarrow A_{\text{attention}} = A_{\text{compression}} \quad (14-1)$$

که در آن موقعیت محور خنثی در شرایط کاملاً پلاستیک تعیین می‌گردد. در مرحله تبدیل بین شرایط الاستیک کامل و پلاستیک کامل، در محلی که پلاستیک شدگی در سراسر مقطع با افزایش ممان اعمالی توسعه می‌یابد، محور خنثی به صورت پیشرونده منتقل می‌گردد. این روند به صورت شماتیک در شکل ۳-۱ نشان داده شده است. برای حالات میانی، اگرچه توسعه روابط تحلیلی ممان-شیب امکان پذیر است، ولی به جز در برخی موارد ساده، نسبتاً پیچیده می‌باشد.

بنابراین حتی اگر بتوان روابط ضمنی ممان-شیب را همانند بخش ۱-۱ بدست آورد، برای مقاطع عرضی دارای تقارن تک محوره و یا دو محوره در بعضی از مواقع بهتر است ممان‌های متناظر با تعداد زیادی از انحنای‌ها، با بکارگیری روش *Pinto-Menegotto* و یا تابع *Ramberg-Osgood* محاسبه گردد. هنگامی که از محاسبات دستی استفاده می‌شود، هر نقطه ممان-شیب را می‌توان با انتخاب مقدار برای کرنش در بالای مقطع عرضی بدست آورد و با انتخاب فرضی موقعیتی برای محور خنثی، برآیند نیروی محوری از دیاگرام کرنش فرضی محاسبه گردیده و موقعیت قرارگیری محور خنثی آنقدر عوض می‌شود تا نیروی محوری صفر گردد. با تکرار این روش برای مقادیر مختلف کرنش، می‌توان رابطه ممان-شیب را برای یک مقطع معین رسم نمود. با بکارگیری همین استدلال نقاط ممان-شیب را می‌توان با برنامه‌های کامپیوتربی تولید کرد. رابطه تقریبی ممان-شیب حاصل از این روش از دقت کافی چهت محاسبه سختی یا خیزهای عضو برخوردار خواهد بود.





شکل ۱-۳- انتقال محور خنثی در مقطع عرضی دارای یک محور تقارن به عنوان ممان اعمالی که در طی پلاستیک شدن پیشوند افزایش می‌یابد.

برنامه‌های کامپیوتری متعددی وجود دارد که قادرند روابط ممان-شیب را برای مقاطع عرضی دلخواه تحت خمین تک محوره یا دوممحوره توسعه دهند. این برنامه‌ها اغلب می‌توانند نیروهای محوری، برشی و فاکتورهای دیگر را در نظر بگیرند. همچنین، اینگونه برنامه‌ها معمولاً به دلیل اینکه سازه آنها نسبتاً ساده است، می‌توانند به راحتی نوشته شوند. به عنوان مثال برای یک مقطع دلخواه که دارای یک محور تقارن (موازی با بار اعمالی) است و در معرض خمش تک محوره قرار دارد، کافیست از یک مدل لایه‌ای مقطع عرضی استفاده شود. در این مدل مقطع عرضی شامل لایه‌های زیادی مثلاً بالغ بر ۱۰۰۰ لایه می‌شود و سهم هریک از این لایه‌ها از ممان خمشی در یک انجنای معین محاسبه و انتگرال‌گیری می‌شود. ساختار چنین برنامه‌ای را می‌توان با نوشتند سابرتوین‌هایی جهت انجام وظایف زیر نوشت:

- لایه‌بندی خودکار مقطع عرضی (بر اساس ورودی ساده‌ای از ویژگی‌های هندسی) صورت گیرد.
- یک مقدار اولیه به مقادیر تنش برای تمام لایه‌ها بدهد و پارامترهای اولیه دیگر را معین کنید.
- کنترل‌هایی برای استراتژی تکرار تنظیم کنید.
- انجناء را جهت محاسبه ممان-شیب نقطه داده شده افزایش دهید.

موقعیت محور خنثی را تخمین بزنید و آن را با توجه به استراتژی تکرار تنظیم کنید (یعنی نتایج حاصل از تکرارهای قبلی در نظر گرفته شوند).

برای انجناء داده شده موقعیت محور خنثی مورد نظر، کرنش‌ها را برای تمام لایه‌ها محاسبه کنید.

برای تمام لایه‌ها در مدل مصالح فرضی، تنش‌ها را محاسبه کنید.

برآیند ممان را با جمع سهم تمام لایه‌ها در پیرامون محور خنثی محاسبه کنید.

برآیند نیروی محوری در مقطع عرضی را با جمع کردن سهم کل لایه‌ها محاسبه کنید.

همگرایی مورد نظر با استفاده از روشی مثلاً رواداری تعیین شده توسط کاربر برای نیروی محوری کنترل شود.

در محدوده رواداری مشخص شده تا زمانیکه نیروی محوری برابر با صفر گردد، این روند را تکرار کنید. همگرایی یک

نقطه \emptyset و همچنین تنش‌های منتظر را در تمام لایه‌های مقطع عرضی ارائه می‌نماید (یعنی توزیع تنش).

این محاسبات را برای دیگر انجناء‌ها جهت دستیابی به تمام منحنی $\emptyset - M$ تکرار کنید.

همانطور که می‌دانیم، برای این چنین برنامه‌هایی می‌توان هر مدل مصالحی را بکار برد. اگرچه اغلب مدل ساده استوپلاستیک کامل کافی می‌باشد. علاوه بر این، الگوریتم فوق الذکر را می‌توان برای در نظر گرفتن بارگذاری سیکلی،

خمش دو محوره، نیروهای غیر صفر، تنش پسماند و اشکال با مقطع عرضی نامتقارن اصلاح نمود.

۱-۳-۱-اثر برخی فاکتورها در رفتار خمی غیر الاستیک

پنهان وسیعی از تحقیقات تجربی تایید نموده که ممان خمی پلاستیک را می‌توان در تیرها گسترش داد. خلاصه برخی از این کارهای تجربی در ASCE(۱۹۷۱) ارائه گردیده است. با توجه به کارهای تجربی این استنباط می‌شود که جهت توسعه ممان پلاستیک، قیود تعیین شده توسط فرضیاتی که در ابتدای بخش ۱-۱ ذکر شد، باید رعایت گردد. در ادامه عوامل دیگری که می‌تواند بر رفتار خمی غیر الاستیک تأثیر بگذارد، بطور خلاصه مورود می‌شود.

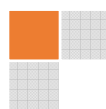
۱-۳-۲-تغییر در مشخصات مصالح

به دلیل اینکه ممان پلاستیک بطور مستقیم به تنش تسلیم فولاد بستگی دارد، در نظرگرفتن مقداری مناسب برای آن در محاسبات از اهمیت ویژه‌ای برخوردار است.

یک خطای بلقوه بحرانی این است که از مقدار گواهی تست کارخانه‌ای استفاده شود. کارخانه‌های تولید فولاد معمولاً از تست نمونه اولیه که در فرآیند تولید هر دسته از فولاد بکار می‌روند، استفاده می‌کنند (سایز یک دسته فولاد بسته به کارخانه‌های تولید متفاوت است ولی معمولاً به چندین تن می‌رسد). آزمایش نمونه اولیه برای تست، برای سطوح مختلف کرنش صورت می‌گیرد که معمولاً مقاومت تسلیم تا ۳۰۰۰۰ یا بیشتر بالا می‌رود. همچنین این آزمایش به منظور حصول اطمینان از اینکه تمام دسته‌ها مشخصات قابل قبولی دارند، انجام می‌شود. خواص فولادهای قرار گرفته در یک دسته که با حرارت یکسانی تولید می‌شوند، نیز دارای نوسان می‌باشد و گواهی تست کارخانه‌ای تنها در بهترین حالت می‌تواند برای تمام تنازع فولاد تولیدی در یک حرارت یکسان، یک مقدار را ارائه دهد. بنابراین استفاده از مقدار گزارش شده مبتنی بر گواهی تست کارخانه‌ای نامناسب و مملو از خطر می‌باشد؛ با توجه به گسیختگی‌های ساختمان ثابت شده است که یکی از دلایل اصلی در فروریزش وجود چنین خطاهایی می‌باشد (به عنوان مثال: Closkey, ۱۹۸۸).

مقاومت مشخصه تسلیم جهت طراحی سازه‌های جدید، مقداری است که می‌تواند استفاده شود. مهندسان با مفاهیم طراحی بر اساس حالات حدی /مانند: طراحی بر اساس حالات حدی انتستیتو استاندارد کانادا (LSD)، طراحی بر اساس ضرایب بار و مقاومت انجمن سازه‌های فولادی آمریکا (LRFD) و غیره/ آشنایی دارند و تغییرات ذاتی در پارامترهای مهندسی از جمله تغییر در مشخصات مصالح را درک می‌نمایند. این تغییرات معمولاً شامل ضرایب بار و مقاومت می‌شود.

هرچند زمانیکه سازه‌ای تحلیل می‌شود، در ک تغییر مقاومت تسلیم مقطع عرضی امری بسیار مهم می‌باشد. همانطور که قبلًا نیز اشاره شد، تست نمونه آزمایشی استاندارد (ASTM E6) جهت دستیابی به مقاومت تسلیم که قبلاً نیز اشاره شد، نتیجه این تست می‌تواند بسته به اینکه نمونه آزمایشی از بال گرفته شده یا از جان، کاملاً متفاوت باشد. Ravindra و Galambos مقادیر متوسط تنش تسلیم برای نمونه‌های آزمایشی گرفته شده از بال‌ها و جان‌ها را به ترتیب ۵٪ و ۱۰٪ بیشتر از مقادیر مشخصه با ضریب تغییرات به ترتیب ۱۱ و ۱۰٪ گزارش دادند. این اتفاق تا حد زیادی به نتیجه رفتار مختلف جان و بال‌ها در طول فرآیند غلتیدن مرتبط می‌شود. در صفحات ضخیم‌تر و اعضا‌ایی که کار کمتری روی آنها صورت گرفته و آهسته‌تر سرد می‌گردد، ساختار بلوری منسجم‌تری را ایجاد می‌کند و مشخصات مقاومت آنها کمتر تضعیف می‌شود. به همین ترتیب، تغییراتی بسته به ضخامت اشکال نورد شده وجود دارد. در حقیقت، آلیاژهای خاصی به مقاطع بسیار ضخیم (مانند اشکال بال پهن که قبلاً به عنوان "مقاطع تنومند" شناخته می‌شد یا اشکال گروه ۴ و ۵ AISC قبل از سال ۲۰۰۵) اضافه می‌شود که همان مقاومت تسلیم مقاطع نازک‌تر را برای ترکیب متالوژیکی معینی فراهم می‌کند. هنگامیکه کارخانه‌های تولید مقاطع فولادی برای جبران کاهش مقاومت تسلیم، ترکیب شیمیایی فولاد را اصلاح نمی‌کند، جهت طراحی از مقاومت تسلیم کمتری استفاده می‌شود (متلاً CISC ۲۰۱۰).



۱-۳-۲- تنش‌های پسماند

بر خلاف آنچه که معمولاً در طراحی فرض می‌شود، یک عضو فولادی پیش از اعمال بارهای خارجی خالی از تنش نمی‌باشد. در واقع تنش‌های داخلی زیادی در حالت خود تعادل وجود دارد. این تنش‌ها معمولاً در طول فرآیند نورد گرم "مقید شده" هستند و تحت تأثیر عواملی همچون جوشکاری یا هرگونه عملیات حرارتی یا سردکاری می‌باشند. جهت درک منشأ این تنش‌های پسماند، فرآیند خنک شدن مقطع فولادی نورد شده باید در نظر گرفته شود. همچنین این مطلب که مدول الاستیسیته فولاد در حرارت‌های بالا دارای مقدار کمی است و به سرعت با کاهش دما تا ۱۰۰۰ درجه فارنهایت افزایش می‌یابد و (مشابه مصالح دیگر) به هنگام سرد شدن دچار افت و جمع‌شدگی می‌شود، نیز باید مورد توجه قرار گیرد.

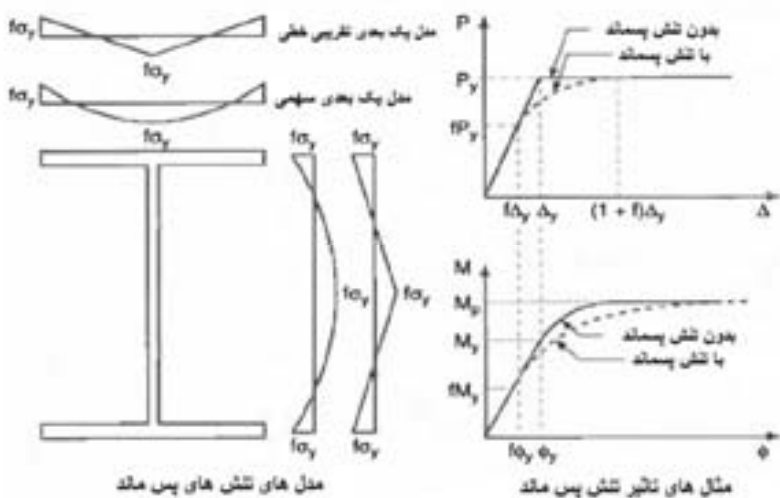
بنابراین هنگامیکه یک مقطع نورد شده با احاطه هوا سرد می‌گردد، ابتدا لبه بال‌ها از سه طرف با هوا محاصره می‌شود و سخت می‌گردد. اساساً جمع‌شدگی با مجاورت فولاد نرم‌تر مقید نمی‌گردد. با این وجود، چنانکه فرآیند سرد کردن در امتداد بال‌ها پیش‌رفت کند، لبه بال‌ها که تا حدودی قبل سرد شده‌اند و مقداری سختی بدست آورده‌اند، یک مهار نسبی را در مقابل جمع‌شدگی مصالح مجاور بال فراهم می‌سازند. از این‌رو لبه بال‌ها، در فشار و مصالح سرد شده مجاور، در کشش قرار دارند. چنانچه فرآیند سرد شدن در امتداد بال‌ها ادامه یابد، این فرآیند تکرار می‌گردد و تمام مصالحی که قبل سرد و سخت شده بودند، توسط فولاد مجاور که شروع به سرد شدن کرده‌اند، تحت فشار قرار می‌گیرند. در نتیجه لبه بال‌هایی که ابتدا سرد شده‌اند، بیشترین فشردگی را خواهند داشت. مصالح هسته بال-جان که از همه طرف با فولاد احاطه شده و به آرامی سرد می‌شوند، در معرض بیشترین تنش‌های کششی داخلی قرار خواهند گرفت.

اعضایی مانند صفحات نازک فولادی که می‌تواند به سرعت سرد شود، در معرض بیشترین مقدار تنش‌های پسماند که گاهی اوقات این مقدار از تنش تسیلیم نیز فراتر می‌رود، قرار دارند. هرچند در اکثر مقاطع فولادی نورد شده تنش‌های پسماند ماکریم تقریباً ۳۳٪ تنش تسیلیم می‌باشد.

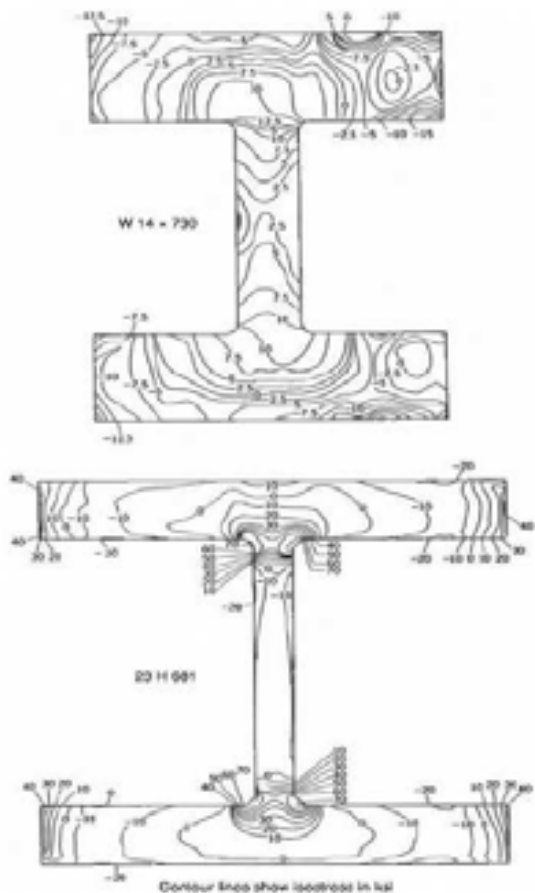
مطابق با چنین منطقی نشان داده می‌شود که جوشکاری چگونه موجب تولید تنش‌های پسماند می‌شود. چنانکه جوشکاری صورت پذیرد، فرآیندهای سرد شدن و جمع‌شدگی فلز جوش و فولاد در ناجیه تحت تأثیر حرارت، با مصالح فولادی هم‌جاور مقید می‌گردد. بنابراین متعاقب جوشکاری، جوش‌ها در کشش خواهند بود. همچنین الگوی تنش پسماند موجود در فلز پایه بطور موضوعی تحت تأثیر عملیات جوشکاری می‌باشد.

تش‌های پسماند خود تعادل با استفاده از تغییرات خطی تنش‌ها در امتداد بال‌ها و جان در شکل ۴-۱ به صورت شماتیک نشان داده شده است. همچنین جهت مقایسه، توزیع تنش پسماند واقعی در یک مقطع فولادی در شکل ۵-۱ نیز ارائه شده است. به دلیل آنکه ساختار یکپارچه اثرات آنها، هیچ نیروی محوری یا ممانی در مقطع عرضی تولید نمی‌کنند، تنش‌های داخلی در حالت خود تعادلی قرار دارند.

اگرچه تنش‌های پسماند می‌توانند بزرگ باشند، ولی اثری بر ممان پلاستیک مقطع عرضی ندارند. به عنوان مثال، شکل ۴-۱ را در نظر بگیرید که در آن فرض می‌شود، مقدار تنش‌های پسماند نصف تنش تسیلیم باشد. هنگامیکه مقطع در عرض بارگذاری محوری خالص در فشار قرار دارد، لبه بال‌ها تنها در نصف بار محوری اعمالی به تنش تسیلیم خود می‌رسند که اگر تنش‌های پسماند وجود نداشته باشند، تسیلیم‌شدگی کامل مقطع عرضی رخ می‌دهد. از آن نقطه به بعد، پلاستیک-شدگی در تمام مقطع عرضی شروع خواهد شد. اصولاً بواسطه آنکه هر نقطه منفرد سطح مقطع از تنش اولیه متفاوتی نشات می‌گیرد، می‌بایستی در معرض درجه بزرگی مختلفی از کرنش (بیش از رسیدن به تنش تسیلیم) قرار گیرد.



شکل ۱-۴-نمایش شماتیک تنش‌های پسماند خود تعادل در شکل سازه‌ای بال پهن



شکل ۱-۵- توزیع دو بعدی تنש‌های پسماند در اشکال سازه‌ای بال پهنه جوش شده و نوردشده (از L. Tall طراحی فولاد سازه‌ای، ویرایش دوم، ۱۹۷۴)

نهایتاً، زمانیکه کرنش اعمالی 50% بیشتر از مقدار مورد نیاز پلاستیک شدن همان مقطع بدون تنش‌های پسماند گردد، نواحی هسته بین بال و جان از آخرین نقاط تسليمشدنی خواهند شد. در واقع دیاگرام نیرو-افزایش طول مشابه آنچه که در شکل ۱-۴ نشان داده شده است، معمولاً به جای استفاده از نمونه‌های آزمایشی استاندارد مصالح، با انجام آزمایش بر نمونه‌های تنه-ستون (*stub-column test*) در فشار محوری (یا کشش) بدست می‌آید.

اگر همان مقطع عرضی به جای نیروی محوری در معرض خمش قرار گیرد، تسليمشدنی در ممانی برابر با نصف M_y با گسترش پلاستیک شدنی از لبه بال‌ها به سمت داخل برای بال‌های تحت فشار و از هسته-بال به سمت بیرون برای بال‌های تحت کشش شروع می‌شود. همچنین اگر بال‌ها در معرض فشار و کشش بزرگتری قرار گیرند، ممان خمشی نیز افزایش می‌یابد. هرچند که ممان پلاستیسیته تغییر نمی‌کند و همان M_p باقی می‌ماند. جهت تفهیم بیشتر مثال زیر با جزئیات بیشتر ارائه شده است.

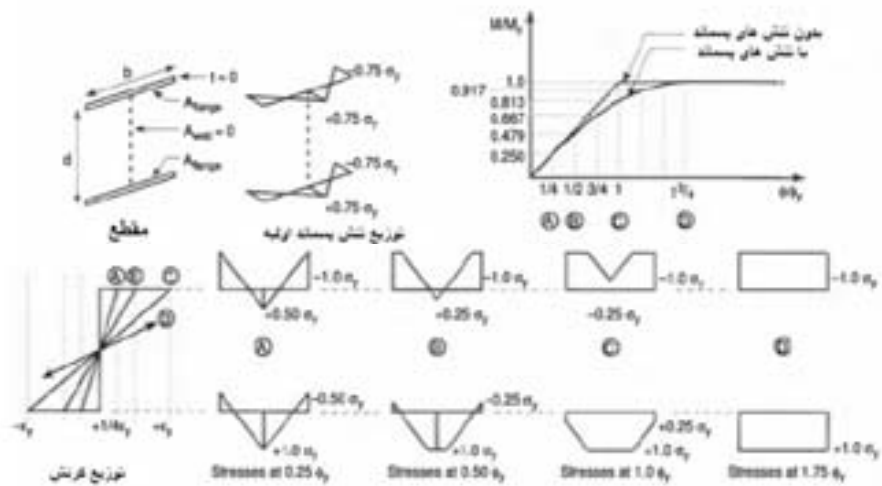
اگرچه تنش‌های پسماند بر مقاومت اعضا تاثیری ندارند، اما نرمشدنی شتاب‌زده منحنی‌های نیروی محوری در مقابل تغییرشکل محوری یا ممان در مقابل انحناء و همچنین وقوع آن قبل از فرآیند تسليم برخیزهای عضو و مقاومت‌های کمانشی تاثیر دارد. در ضمن عبارات تحلیلی که در آینه‌نامه‌ها و استانداردهای طراحی فولاد جهت محاسبه پایداری و مقاومت اعضای سازه‌ای بکار می‌رود، در نظر گرفته شده است.

۱-۳-۳- مثال: مقطع بال پهنه ایده‌آل با تنش‌های پسماند

یک مقطع بال پهنه "ایده‌آل" جهت مقاومت در برابر خمش دارای بال‌هایی با ضخامت ناچیز و مساحت A_f ، ارتفاع d و جان آن نیز مساحت ناچیزی دارد (شکل ۱-۶). ضریب شکل برای این مقطع برابر با یک و ممان پلاستیک آن برابر با $M_p = dA_f\sigma_y$ می‌باشد. در این مقطع فرض می‌شود، تنش‌های پسماند اولیه توسعه فرآیند نورد به وجود می‌آید (قبل از اعمال هرگونه بار خارجی) و حداقل مقدار آن در لبه بال‌ها (در فشار) و در تقاطع با جان (در کشش) برابر با $75\sigma_y$ است که به صورت خطی در بین این دو تغییر می‌کند. همچنین فرض می‌شود که مصالح در حالت الاستوپلاستیک کامل قرار دارد.

منحنی‌های $M - \emptyset$ در حالت اولیه بدون تنش و همچنین حالتی که تنش‌های پسماند حضور دارند، رسم می‌گردد. برای این منظور اگرچه روابط تحلیلی دقیقی را می‌توان بدست آورد، ولی در اینجا جهت ساده‌سازی، حل با محاسبه نقاطی که عیناً در این منحنی‌ها رسم می‌شود، بدست می‌آید.

با استفاده از اصل جمع آثار قوای تنش و آگاهی از تنش‌های جدید اعمالی و کرنش‌های مرتبط با آن در هر نقطه از مدل الاستوپلاستیک کامل، می‌توان شکل ۱-۶ را تولید نمود. در این شکل در رسم برآیند ممان-شیب هنگامی که مقطع عرضی بدون تنش پسماند در نظر گرفته می‌شود، از خط چین استفاده می‌گردد. در این شکل \emptyset و σ_y به ترتیب انحناء و ماکریم کرنش در شروع تسليمشدنی (که در این مثال به M_p می‌رسد) می‌باشد. منحنی برآیند $M - \emptyset$ برای این مقطع عرضی با ضریب شکل واحد، دو خطی می‌باشد.



شکل ۱-۶- رفتار همچنین شکل پلاستیک سازه‌ای ایده‌آل با تنش‌های پسمند

برآورد منحنی $M - \sigma_y$ برای حالتی که تنش‌های پسمند داریم، بسیار قابل توجه می‌باشد. مرحله A پایان محدوده الاستیک را نشان می‌دهد؛ به دلیل اعمال یکنواخت کرنش‌هایی برابر با $\frac{1}{4}\sigma_y$ به مقطع عرضی تنش‌هایی به اندازه $\frac{1}{4}\sigma_y$ برابر با σ_y به صورت یکنواخت اضافه می‌شود. این امر موجب تسلیم‌شدگی در نقاطی که مقدار تنش‌های پسمند آنها $0.75\sigma_y$ است، می‌گردد. مقادیر ممان‌ها و انحناء در مضربی از این انحناء محاسبه می‌شود. برآیند کرنش‌ها، تنش‌ها و منحنی M (خط توپور) در شکل ۱-۶ ارائه شده است. به عنوان مثال، ممان برای حالت ج که حالت میانی است، با در نظر گرفتن انحناء \emptyset مطابق با دیاگرام تنش به صورت زیر محاسبه می‌گردد:

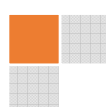
$$M_{stage-C} = 2 \left[2 \left(\frac{A_f}{4} \sigma_y + \frac{1}{2} \left(\frac{\sigma_y}{4} + \sigma_y \right) \frac{A_f}{4} \right) \frac{d}{2} \right] = 0.8125 A_f d \sigma_y = 0.8125 M_p \quad (15-1)$$

۴-۳-۱-۱- نایداری‌های موضعی

انحناء پلاستیک را نمی‌توان به صورت نامحدود افزایش داد و در نهایت کمانش موضعی یا کمانش پیچشی جانبی رخ می‌دهد. هنگامی که مدول مقطع مماسی سخت‌شدگی کرنشی به نحو فزاًیندهای کاهش یابد (در عین حالی که کرنش‌های پلاستیک افزایش می‌یابند). بنابراین لازم به ذکر است که آگاه باشیم که در اعضاء سازه‌ای تحت فشاری که به محدوده پلاستیک می‌رسند، نهایتاً کمانش موضعی رخ می‌دهد (مانند بال در تیرهایی با بال پهن که در سازه‌ها به طور معمول مورد استفاده قرار می‌گیرند). با بکارگیری روش‌های طراحی پلاستیک، به سادگی محدودیت‌های ضخامت-بال بیشتری برای به تأخیر انداختن کمانش موضعی در نظر گرفته می‌شود. این محدودیت‌ها این اطمینان را حاصل می‌کند که توسعه تغییرشکل‌های بزرگ پلاستیک در محدوده قابل انتظار در کاربردهای معمولی رخ دهد.

۱-۳-۵- سخت‌شدگی کرنشی

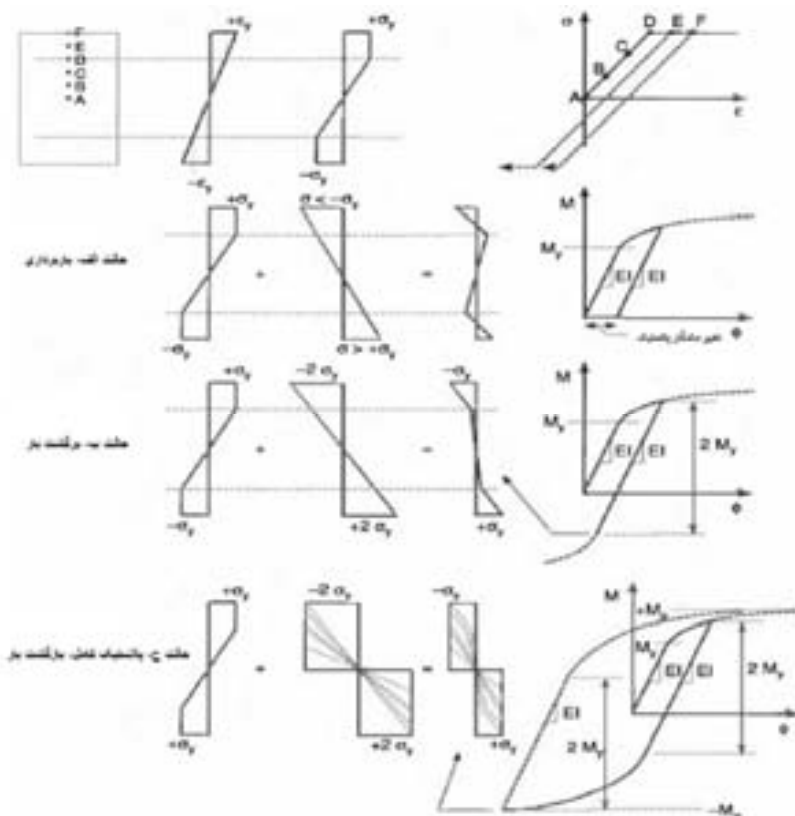
بکارگیری مدل‌هایی مانند مدل الاستوپلاستیک کامل که اثر سخت‌شدگی کرنشی را نادیده می‌گیرند، بسیار ساده‌تر هستند و به ویژه برای محاسبات دستی بسیار سودمند می‌باشند. در نظر گرفتن اثر سخت‌شدگی کرنشی معمولاً امکان‌پذیر است، ولی نیاز به تلاش‌های محاسباتی مضاعف دارد. همچنین ثابت شده است تا زمانیکه بحث مقاومت عضو مستله‌ای است که موجب نگرانی می‌شود، معمولاً نادیده گرفتن آن در تیرهایی که در معرض تغییرات ممان قرار دارند، محافظه کارانه می‌باشد.



تأثیر سخت شدگی کرنشی بر محاسبات دوران پلاستیک می تواند قابل توجه تر باشد. برای حالت خاصی که تیرها در معرض ممان های یکنواختی قرار دارند (که پلاستیک شدگی بطور همزمان در بالای تمام منطقه ای که تحت ممان یکنواخت قرار دارد، رخ می دهد)، در نظر گرفتن سخت شدگی کرنشی در چنین تیرهایی که معمولاً کمانش موضعی در اولین سخت شدگی کرنشی رخ می دهد، فوایدی را به همراه دارد.

۱-۴- رفتار طی بارگذاری سیکلی

کاربرد اصلی مفاهیم تحلیل پلاستیک در طراحی سازه های مقاوم در برابر زلزله یافت می شود. در نتیجه بررسی اثر بارگذاری سیکلی بر یک مقطع که بطور کامل و یا تا حدی پلاستیک شده است، بسیار مهم است. کلید درک رفتار پلاستیک یک مقطع عرضی این است که یک سری از لایه هایی از مصالح در نظر گرفته شود. تمام لایه های مصالح باید با قوانین مذکور مدل مصالح باقی بمانند، اما هر لایه به صورت متفاوتی کشیده می شود. بنابراین تاریخچه تنش نیز متفاوت خواهد بود. برای مثال، در شکل ۷-۱ نقاط الف تا و به نقاط مختلف در امتداد ارتفاع یک مقطع عرضی مستطیلی که در معرض ممانی بزرگتر از ممان تسلیم؛ M_y و کوچکتر از ممان پلاستیک M_p است، اختصاص داده می شود. هنگامیکه ممان اعمالی حذف و یا به عبارتی ممان اعمالی بر دیگر $M - \emptyset$ صفر می گردد، در واقع مقطع عرضی بارگذاری می شود و همچنین تمام لایه ها به صورت استاتیکی مطابق با مدل المان الاستوپلاستیک بارگذاری می شوند. در حقیقت یک لایه معمولاً تا زمانیکه تنش به سطح تسلیم در مخالف جهت σ_y - نرسد، به صورت استاتیکی بارگذاری می گردد. بنابراین، ابتدا باید تلاش گردد که به صورت استاتیکی ممان اعمالی همانند حالت الف از شکل ۷-۱ حذف گردد.



شکل ۷-۱- مثال رفتار پلاستیک سیکلی مقطع عرضی

اگر هیچکدام از تنش‌ها در دیاگرام برآیند تنش، از تنش تسلیم فراتر نرود، راه حل قابل قبول تلقی می‌شود. توجه داریم که اگرچه بار اعمالی خارجی حذف شده است، ولی در حالت خود تعادل دیاگرام تنش پسماند داخلی ایجاد شده است. علاوه بر این، با توجه به دیاگرام $M - \emptyset$ می‌توان مشاهده کرد که منحنی پسماند باقی می‌ماند. جهت برآورد بزرگای این منحنی می‌توان ماقطعه اتحانه حاصل از فاز اولیه بارگذاری (برای مقاطع مستطیلی می‌توان از معادله ۹-۱ استفاده کرد) را محاسبه کرد و سپس از این مقدار اتحانی که نظیر ممان حذف شده با فرض پاسخ پلاستیک می‌باشد را کم کرد (با استفاده از معادله ۴-۱ که اتحاننا برابر با $M/EI = \emptyset$ می‌باشد). به دلیل اینکه این دو مقدار کاملاً متفاوت می‌باشند، باید یک اتحانه پسماند باقی بماند.

با توجه به استدلال بیان شده در بالا، همانطور که در حالت ب از شکل ۷-۱ مشاهده می‌شود، برای هر مقطع عرضی که ابتدا تحت تنش M_y قرار دارد، این امکان وجود دارد که ممانی به اندازه \emptyset بدون اینکه تنش از مقدار تسلیم در دیاگرام تنش برآیند فراتر رود، به صورت استاتیکی حذف شود. در واقع مقطع می‌تواند در داخل این محدوده \emptyset بدون اینکه پلاستیک شدگی جدیدی را تولید کند، در معرض تاریخچه‌های بارگذاری چرخشی قرار گیرد. این معادل داشتن یک محدوده الاستیک جدید است که با تفاوت بین M و M_y به سمت بالا منتقل می‌شود. با این حال به محض اینکه بارگذاری در این مزها افزایش یابد، تسلیم شدگی جدیدی رخ می‌دهد و تاریخچه تنش-کرنش هر لایه باید جهت تعیین توزیع واقعی تنش در سراسر مقطع عرضی مشخص شود. جهت تعیین این پروفیل تنش، روش مورد استفاده در مثال تنش‌های پسماند در بخش قبلی را می‌توان بکار گرفت. اما افست تولید شده توسط منحنی پسماند در ممان صفر باید محاسبه گردد. در نهایت همانطور که در حالت ج از شکل ۷-۱ نشان داده است، ممان ماقزیم M_p - بدست آورده می‌شود. این روند را می-توان با چرخش بارگذاری و سیکلی نیز تکرار کرد، بنابراین منحنی‌های هیستوگرام $M - \emptyset$ تولید می‌شود.

بطور کلی رفتار شکل پذیر اعضاء فولادی تا زمانیکه ناپایداری موضعی رخ دهد، توسعه خواهد یافت. این امر به دلیل افزایش بیش از حد کرنش تحت بارگذاری غیر سیکلی یا شکست تحت پلاستیک شدن متناوب می‌باشد (عنی خستگی سیکل پایین تحت بارگذاری غیر الاستیک سیکلی).

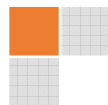
۱-۲-بارگذاری ترکیبی خمشی و محوری

در بخش ۱-۱ فرض شد که هیچ بار محوری خارجی بر مقطع عرضی اعمال نمی‌شود. با این حال در بسیاری از موارد این فرض نادرست خواهد بود و بررسی اینکه حضور بار محوری چه تاثیری بر ممان پلاستیک دارد، ضروری می‌باشد. همان مفاهیم اساسی و مدل‌سازی که قبل ارائه گردید، در اینجا نیز اعمال می‌شود: توزیع خطی کرنش‌ها در سراسر مقطع عرضی عضو با استفاده از مدل الاستوپلاستیک به تنش‌ها مرتبه می‌شود و ممان‌ها و نیروهای محوری با انتگرال گیری کرنش‌های اعمالی بر مقطع عرضی بدست می‌آید (یا به عبارت ساده‌تر با استفاده از نیروهای تنش-برآیند). شکل ۸-۱ چگونگی تغییرات دیاگرام تنش به عنوان ممان اعمال شده را نشان می‌دهد که به صورت پیشرونده برای نیروی محوری داده شده افزایش می‌یابد.

محاسبه ممان پلاستیک کاهش یافته M_{pr} در حالت پلاستیک شده کامل برای بار محوری P یک عملیات ساده می‌باشد. بطور مستقیم، تعادل نیروهای افقی وارد بر مقطع عرضی به صورت زیر است:

$$P = C - T = A_{compression} \sigma_y - A_{tension} \sigma_y = (A_{compression} - A_{tension}) \sigma_y \quad (1-16)$$

با توجه به اینکه جمع $A_{tension}$ و $A_{compression}$ باید با کل مساحت مقطع عرضی A باشد، می‌توان بطور مستقیم محل قرائیری محور خنثی؛ نیروهای برآیند-تنش C و T و ممان پلاستیک کاهش یافته متناظر؛ M_{pr} را بدست آورد. با تکرار این روند برای نیروهای محوری که از صفر تا بار پلاستیک محوری ($= A\sigma_y$) تغییر می‌کند، می‌توان برای



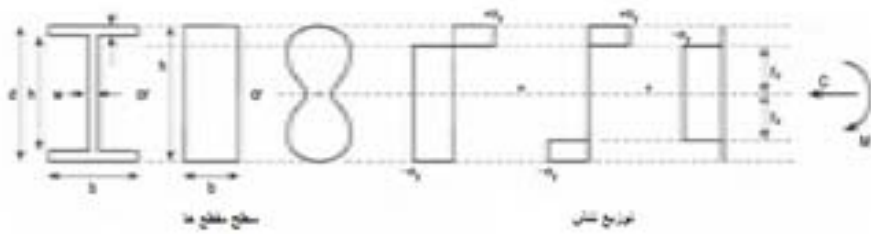
مقطع داده شده دیاگرام اندرکنش را رسم کرد. روش دیگر، بکارگیری راه حل های با فرم بسته^۱ برای ساده ترین مقاطع عرضی می باشد.

برخی از این راه حل های با فرم بسته در اینجا ارائه می شود. همچنین بهتر است مطابق با شکل ۱-۹، دیاگرام تشن پلاستیک شده کامل برای پاسخ ترکیبی خمشی-محوری را به دو قسمت توزیع ممان و نیروی محوری خالص تقسیم کرد. برای راحتی کار، برای مقاطع عرضی مختلف، این شکل با استفاده از همان موقعیت دلخواه قرار گیری محور خنثی توسعه داده می شود؛ بدین معنی که برای این حالت کلیپلاستیک کامل، بارهای محوری و ممان های متناظر متفاوتی برای هر مقطع عرضی بدست آورده شده است. با این وجود اصل اساسی تغییری نمی کند: زمانیکه موقعیت قرار گیری محور خنثی فرض می شود، عبارات می توانند برای نیروی محوری اعمال شده و ممان پلاستیک کاهش یافته متناظر توسعه یابد که در تمام و یا در قسمت هایی از عمق مقطع اعتبار دارند. با استفاده از تقلیل جبری، توسعه معادلات برای دیاگرام های اندرکنش که نیروی محوری اعمالی را به عنوان تابعی از ممان پلاستیک کاهش یافته بیان می کنند، نیز امکان پذیر است. اگرچه بعضی اوقات این روش بسیار ملال آور می باشد.

در اینجا این معادلات برای برخی از مقاطع ساده ای که دو محور تقارن دارند و محور خنثی آنها در فاصله‌ی y در بالای مرکز هندسی قرار دارد، توسعه داده می شود.



شکل ۱-۱- دیاگرام های تشن به عنوان توسعه پلاستیسیته در یک مقطع عرضی در معرض بارگذاری ترکیبی محوری و خمشی



شکل ۱-۴- وضعیت کاملاً پلاستیک برای موقعیت دلخواه فایبر خنثی

۱-۲-۱- مقطع عرضی مستطیلی

اگر دیاگرام تشن در شکل ۱-۹ به هم پیوستگی خمش و محوری خالص تقسیم گردد، برآید نیروی محوری برابر است با:

$$\left[\frac{P}{P_y} \right] = \left[\frac{(P = \gamma \cdot y \cdot \sigma_y)}{(P_y = h \cdot b \cdot \sigma_y)} \right] = \frac{\gamma \cdot y}{h} (17-1)$$

که در آن، P_y ظرفیت محوری مقطع عرضی در حالت پلاستیک شده کامل و سایر پارامترهای هندسی در بخش ۹-۱ تعریف شده است.

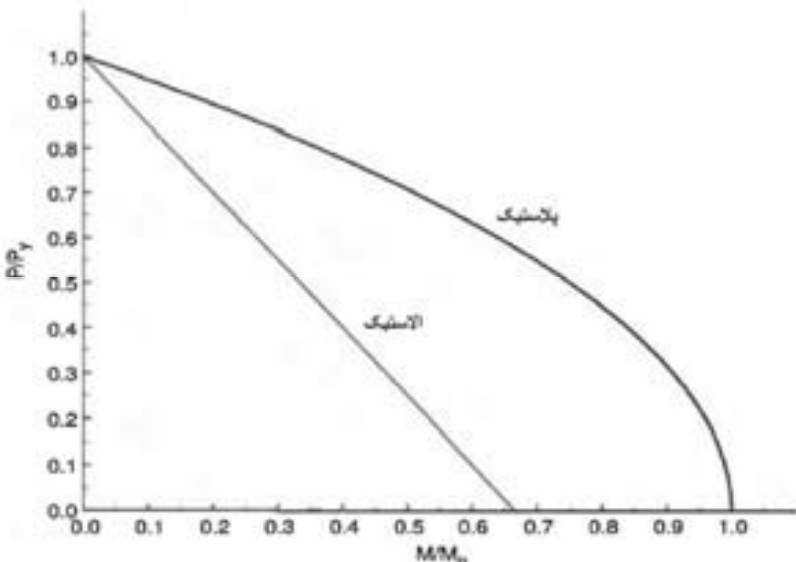
اگر ممان پلاستیک مقطع در عمق $2y$ (به عبارت دیگر وقتی فرض شود، قسمتی از مقطع عرضی در مقابل بار محوری P مقاومت می کند) از ممان پلاستیک (یعنی مقاومت خمشی در فقدان بار محوری) کم شود، این عبارت را می توان برای ممان پلاستیک کاهاش یافته به صورت زیر توسعه داد:

$$M_{pr} = Z\sigma_y - Z_y \cdot \sigma_y = \left[\left(\frac{bh^3}{4} \right) - \left(\frac{b(2y)^3}{4} \right) \right] \sigma_y = \frac{b(h^3 - 4y^3)}{4} \sigma_y \quad (18-1)$$

با فرمتی نرمال شده و در معادله ۱۷-۱ جایگذاری می شود:

$$\frac{M_{pr}}{M_p} = \frac{b(h^3 - 4y^3)\sigma_y}{bh^3\sigma_y} = 1 - \frac{4y^3}{h^3} = 1 - \left(\frac{P}{P_y} \right)^2 \quad (19-1)$$

دیاگرام برآیند اندرکنش در شکل ۱۰-۱ رسم شده است. توجه داریم که برای یک مقطع عرضی مستطیلی تفاوت قابل توجهی بین منحنی اندرکنش الاستیک، هنگامیکه هیچگونه کرنشی به کرنش تسلیم اضافه نمی شود، با منحنی اندرکنش پلاستیک که در بالا بدست آمده است، وجود دارد.



شکل ۱۰-۱- دیاگرام اندرکنش نرمال شده پلاستیک $M-P$ برای یک مقطع عرضی مستطیلی

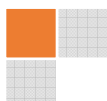
۱-۲-۲-۱- مقاطع بال پهنه: خمش حول محور قوی

برای مقاطع بال پهنه (مقاطعی که سخامت بال ثابتی دارند)، راه حل با فرم بسته با توجه به اینکه محور خنشی در جان y (یا در بال $y < d/2$) قرار بگیرد، بسیار متفاوت است. برای حالت اول:

$$\left[\frac{P}{P_y} \right] = \left[\frac{(P=2y \cdot w \sigma_y)}{(P_y=A \sigma_y)} \right] = \frac{2y}{A} \leq \frac{A_w}{A} \quad (20-1)$$

که در آن، A مساحت کل مقطع عرضی ($= 200 + 100$) و A_w مساحت جان ($= wh$) می باشد. بدین ترتیب ممان پلاستیک کاهاش یافته به صورت زیر بازنویسی می شود:

$$M_{pr} = Z\sigma_y - Z_y \cdot \sigma_y = \left[Z - \left(\frac{w(2y)^3}{4} \right) \right] \sigma_y = (Z - wy^3) \sigma_y \quad (21-1)$$



سپس جهت بدست آوردن منحنی اندرکنش نرمال شده $M-P$ ، معادله بالا بر M_p تقسیم می‌گردد و نتیجه معادله - ۲۰

۱ جایگزین می‌شود:

$$\frac{M_{pr}}{M_p} = 1 - \left(\frac{Z_y}{Z} \right) = 1 - \left(\frac{wy}{Z} \right) = 1 - \left(\frac{P}{P_y} \right)^{\frac{A}{4\Omega}} \text{ برای } \frac{P}{P_y} \leq \frac{A_w}{A} \quad (22-1)$$

هنگامیکه محور خنثی در بال می‌افتد، با استفاده از روشی مشابه عبارت زیر بدست می‌آید:

$$\frac{M_{pr}}{M_p} = A \left(1 - \frac{P}{P_y} \right) \left[d - \frac{A}{4\Omega} \left(1 - \frac{P}{P_y} \right) \right] \left(\frac{1}{2\Omega} \right) \frac{P}{P_y} > \frac{A_w}{A} \quad (23-1)$$

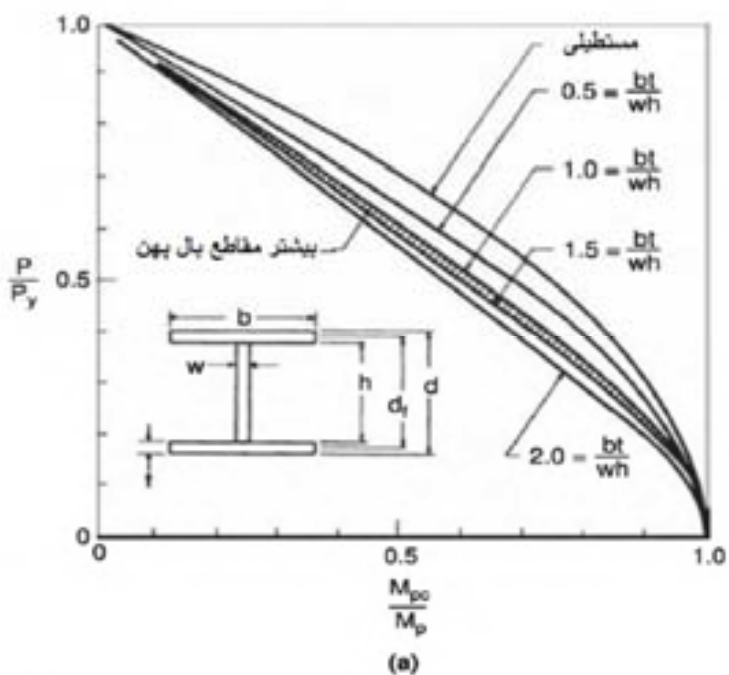
باید این نکته را در نظر داشته باشیم، وقتیکه نیروی محوری از ۳۰٪ مقدار پلاستیک آن تجاوز کند، معمولاً کاهش در ظرفیت ممان برای این اشکال سازه‌ای کمتر از ۱۰٪ می‌باشد. برای متداول‌ترین مقاطع بال پهن موجود، منحنی اندرکنش نرمال شده $M-P$ تابعی از نسبت مساحت جان به مساحت کل مقطع عرضی می‌باشد (که به طریقی دیگر می‌تواند به صورت مساحت جان به مجموع مساحت بال‌ها یا به صورت‌های دیگر بیان گردد). به عنوان مثال، این مساحت با توسعه عبارت نرمال نشده معادله - ۲۲ به صورت زیر بیان می‌شود:

$$\frac{A}{4\Omega Z_y} = \frac{A}{\frac{wh^3}{4} + \frac{Af(d-t)}{2}} = \frac{A}{A_w + 2Af(A_w + tw)} = \frac{1}{\left(\frac{A_w}{A}\right)^{\frac{3}{4}} + \left(\frac{2Af}{A}\right) + \left(\frac{tw}{A}\right)} \quad (24-1)$$

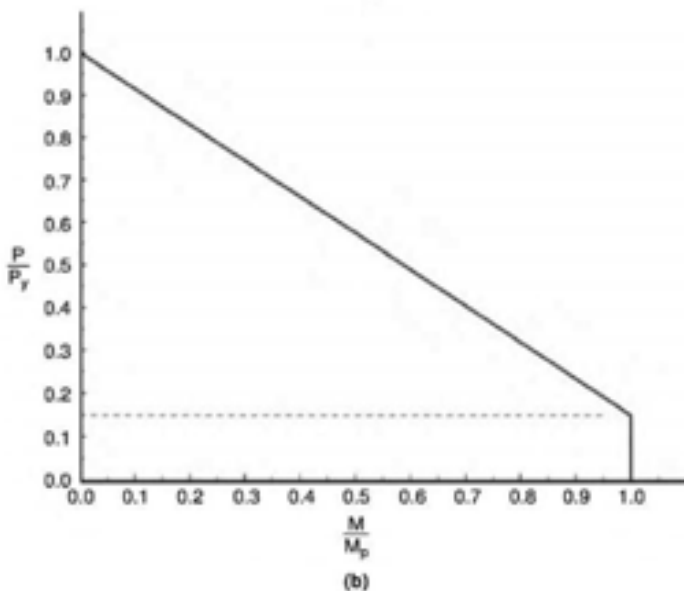
که در آن، A مساحت کل بال (یعنی؛ مجموع مساحت‌های هر دو بال) می‌باشد. مشاهده ساده یا محاسبه با سعی و خطأ، اهمیت ناچیز عبارت سوم مخرج بر برآیند منحنی اندرکنش نرمال شده $M-P$ را نشان می‌دهد. این عبارت برای نسبت مساحت جان به بال داده شده، مقدار غیر ثابت منحصر به فردی می‌باشد. در نتیجه منحنی‌های نرمال شده اندرکنش را مطابق با شکل ۱-۱۱-الف می‌توان به راحتی به عنوان تابعی از نسبت مساحت بال به جان بیان کرد.

همانطور که انتظار می‌رود، با توجه به شکل ۱-۱۱-الف می‌توان مشاهده کرد، منحنی‌های نرمال شده اندرکنش $M-P$ مقاطع بال پهن که کمترین نسبت مساحت بال به جان را دارند، به منحنی مقطع عرضی مستطیلی که در قبل بدست آمده بسیار نزدیک است. اگرچه این مشاهده برای نشان دادن رفتار فیزیکی نسبی مقاطع عرضی مختلف مفید است، اما باید بادآوری شود که اشکال مستطیلی فولادی به رغم داشتن محدوده پلاستیک گسترده‌تر، به صورت ناکارامدی از مصالح استفاده می‌کند که مطلوب نمی‌باشد. در نهایت، همانطور که می‌دانیم مقاطع بال پهن معمولاً با نسبت ثابتی از مساحت بال به جان نورد می‌شود که عموماً بین ۲ و ۳ است، که تقریباً مطابق با ناحیه هاشور خورده شکل ۱-۱۱-الف می‌باشد. همچنین توسعه مطلوب و قابل اطمینان منحنی اندرکنش $M-P$ را برای مقاومت پلاستیک مقاطع عرضی بال پهن در خمس حول محور قوی امکان‌پذیر ساخته است که در شکل ۱-۱۱-ب نشان داده شده است و به صورت زیر بیان می‌گردد:

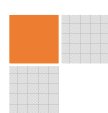
$$(25-1) \frac{M}{M_p} = 1.18 \left(1 - \frac{P}{P_y} \right) \leq 1.00$$

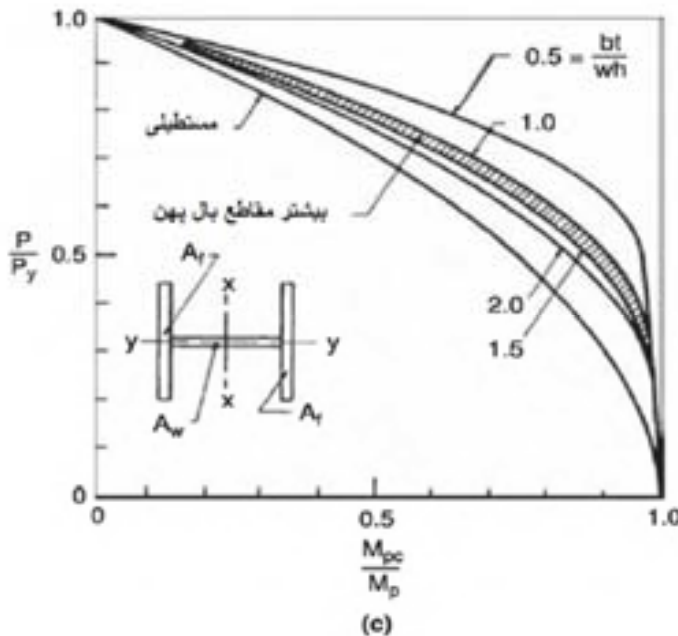


(a)



(b)





شکل ۱-۱۱-دیاگرام‌های اندرکنش نرمال شده پلاستیک $M-P$: (الف) برای شکل سازه‌ای بال پهن، خمین حول محور قوی؛ (ب) منحنی اندرکنش ساده شده طراحی برای شکل سازه‌ای بال پهن، خمین حول محور قوی؛ (ج) برای شکل سازه‌ای بال پهن، خمین حول محور ضعیف (اشکال الف و ج برگرفته از راهنمای ۱۰۰۰۰۰۰۴ می باشد)

۳-۲-۱- مقاطع بال پهن: خمین حول محور ضعیف

معادلات اندرکنش نرمال شده $M-P$ را می‌توان برای مقاطع بال پهن که تحت خمین حول محور ضعیف خود هستند، با روشهای مشابه که در بخش قبلی برای خمین حول محور قوی ارائه گردید، بدست آورد. دو مورد بسته به اینکه محور خنثی در جان ($w/2 \leq y \leq b/2$) یا در بال ($y \leq w/2$) باید در نظر گرفته شود. برای حالت اول:

$$\frac{M_{pr}}{M_p} = 1 - \left(\frac{P}{P_y} \right)^2 \frac{A^y}{\pi Z_y} \frac{P}{P_y} \leq \frac{wd}{A} \quad (26-1)$$

و برای حالت دوم:

$$\frac{M_{pr}}{M_p} = \left[\frac{w}{A} - \left(1 - \frac{P}{P_y} \right) \right] \left(1 - \frac{P}{P_y} \right) \frac{P}{\pi Z_y} > \frac{wd}{A} \quad (27-1)$$

منحنی اندرکنش نرمال شده $M-P$ برای اکثر مقاطع بال پهن موجود، باز هم تابعی از نسبت مساحت بال به مساحت جان است. منحنی‌های اندرکنش نرمال شده به عنوان تابعی از این نسبت در شکل ۱-۱۱-ج نشان داده است. این بار در خمین حول محور ضعیف به دلیل شکل مقاطع بال پهن، دو مقطع عرضی مستطیلی به سادگی در مرکز تقل خود توسط یک عضو باریک بهم پیوسته‌اند. همچنین مقاطع بال پهنی که بیشترین نسبت مساحت بال به جان را دارند، منحنی‌های اندرکنش آنها مطابق با شکل ۱-۱۱-ج به مقطع مستطیلی نزدیکتر است. منطقه هاشور خورده در شکل محدوده نسبت‌های مساحت بال به جان متناظر با اکثر مقاطع بال پهن نورده شده که امروزه بکار می‌رود را نشان می‌دهد. بر اساس این مشاهدات، عبارت منحنی طراحی اندرکنش زیر برای مقاومت پلاستیک مقاطع بال پهنی که تحت خمین حول محور ضعیف خود قرار دارند، به صورت زیر پیشنهاد داده می‌شود:

$$\frac{M}{M_p} = 1.19 \left[1 - \left(\frac{P}{P_y} \right)^2 \right] \leq 1.00 \quad (28-1)$$

هرچند در برخی از موارد ساده‌تر است، اما معادلات محافظه‌کارانه‌تری در برخی از آینه‌نامه‌های طراحی استفاده شده است (به عنوان مثال: CSA، ۲۰۰۹).

۱-۴-۲-۱- روابط ممان-شیب

اگر رابطه ممان-شیب کامل برای یک بار محوری و مقطع عرضی داده شده مورد نظر باشد، بکارگیری تکنیک‌های عددی توصیه می‌شود، حتی اگر برخی از راه حل‌های با فرم بسته بتواند برای ساده‌ترین مقاطع عرضی توسعه پیدا کند. در واقع برای ترکیب بارگذاری محوری و خمши تنها تغییرات کمی برای تشریح الگوریتم ممان-شیب در بخش قبلی لازم است.

۱-۳- بارگذاری ترکیبی خمши و برشی

اندرکنش بین نیروی محوری و ممان به دلیل آنکه منجر به ایجاد کرنش‌های محوری در یک عضو سازه‌ای می‌گردد، به سادگی در بخش پیشین در نظر گرفته شد. با این وجود قبیل از اینکه ترکیب اثر بارگذاری خمши و برشی بر ممان پلاستیک یک مقطع عرضی در نظر گرفته شود (هنگامیکه تسلیم شدگی رخ می‌دهد)، ابتدا باید اندرکنش بین تنش‌های برشی و محوری شرح داده شود. بر اساس مشاهدات تجربی، برای شرح رفتار اساسی مصالح دو قانون مقاومت مصالح؛ معیارهای تسلیم ترسکا و فون‌میزس فرمول‌بندی شده است (Popov، ۱۹۶۸). حالت دوم بطور گسترده برای تشریح جنبه‌های رفتاری سازه‌های فولادی بکار گرفته می‌شود. معیار فون میزس به صورت زیر بیان می‌شود:

$$\sigma_y^3 + 3\tau^3 = \sigma_y^{(29-1)}$$

که در آن، τ تنش محوری، τ تنش برشی و σ_y تنش تسلیم در کشش تک محوره می‌باشد.

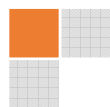
با توجه به این معیار: (۱) هنگامیکه تنش‌های محوری به نقطه تسلیم می‌رسد، هیچ‌گونه تنش برشی τ را نمی‌توان اعمال کرد و (۲) در غیاب تنش‌های محوری، تنش برشی تسلیم τ برابر با σ_y می‌باشد. چنین مدلی به صورت محافظه‌کارانه سخت‌شدنی کرنشی را نادیده می‌گیرد و با آنچه تاکنون مد نظر بوده تطابق دارد. این معیار قابل اطمینان بوده و به معمولاً به دلیل سخت‌شدنی کرنشی می‌توان به تنش برشی بیشتری دست یافت. با این معیار، به عنوان یک نقطه شروع، بسیاری از مدل‌ها جهت تعیین ممان پلاستیک کاهش‌یافته در حضور نیروهای برشی پیشنهاد شده است. راه حل‌هایی که در اینجا ارائه می‌شود، براساس ملاحظات تعادل می‌باشد و عموماً دارای راه حل‌های کران پایین و محافظه‌کارانه‌ای هستند.

در اینجا، جهت نشان دادن اندرکنش خمش-برش برای مقاطع عرضی مستطیلی، توزیع تنش‌های محوری و خمши مطابق با شکل ۱۲-۱ با توجه به معیار تسلیم فون میزس بکار می‌رود. توزیع تنش‌های برشی تنها با در نظر گرفتن باقی‌مانده هسته الاستیک (تسلیم نشده) و آگاهی از اینکه تنش‌های برشی به صورت سهموی در امتداد مقطع عرضی مستطیلی تغییر می‌کند، بدست می‌آید. بنابراین با این آگاهی که تنش برشی ماکریم وارد بر مقطع مستطیلی ۵۰٪ بزرگ‌تر از تنش برشی میانگین است و همچنین با بکارگیری معیار تسلیم فون میزس برای مقطعی با عمق هسته الاستیک y ، نیاز است که

مقطع در برابر نیروی برشی V مقاومت کند. این نیروی برشی را می‌توان به صورت زیر محاسبه کرد:

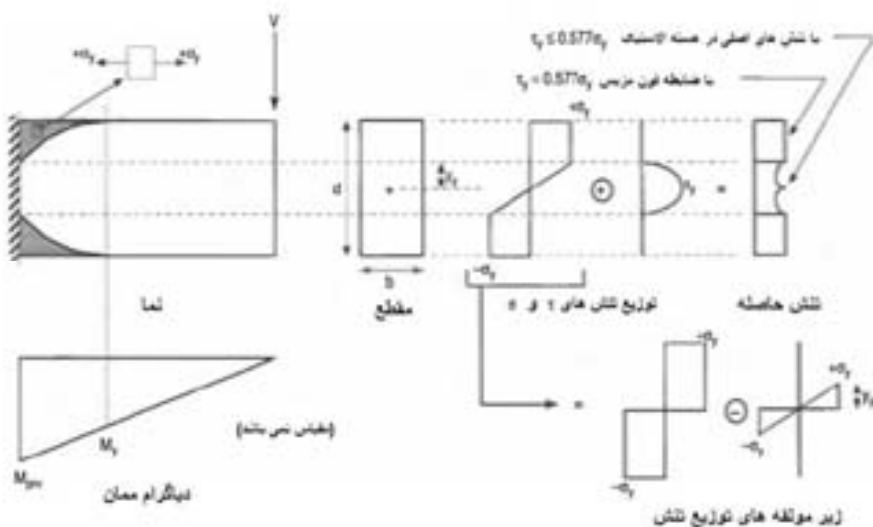
$$\tau_y = \frac{1.30}{b\sigma_y} y_y = \frac{1.30}{A_{effective}} y_y \text{ بنابراین } y_y = \frac{0.577\sigma_y}{\sqrt{3}} = \frac{\sigma_y}{\sqrt{3}} \quad (30-1)$$

دیاگرام برآیند تنش محوری در محدوده y از محور خنثی، الاستیک و فراتر از آن مقدار، پلاستیک می‌باشد که جهت محاسبه ظرفیت ممان پلاستیک کاهش‌یافته استفاده می‌شود. با بکارگیری اصل جمع آثار قوا مطابق با شکل ۱۲-۱ همانطور که قبلاً نشان داده شد، ممان کاهش‌یافته حاصل از برش با فرمول زیر بدست می‌آید:



$$\frac{M_{prs}}{M_p} = \frac{M_p - \tau \left[\left(\frac{by_y}{\tau} \right) \left(\frac{y_y}{\tau} \right) \right] \sigma_y}{\left(\frac{bd\tau}{\tau} \right) \sigma_y} = 1 - \frac{\tau}{\tau} \left(\frac{y_y}{d} \right)^2 = 1 - \frac{\tau}{\tau} \left(\frac{V}{V_p} \right)^2 \leq \frac{\tau}{\tau} (31-1)$$

در معادله بالا، آخرین تساوی با جایگزین کردن مقدار y_y در معادله قبلی بدست می‌آید و V_p به عنوان برش متناظر با مقطعی که بطور کامل تحت برش، پلاستیک شده تعریف می‌گردد (در این حالت تنش‌های برشی باید در بالا و پایین مقطع باشد، ولی به دلیل اینکه این وضعیت مهم را نقض می‌کند، یک کمیت صرفاً نظری می‌باشد). برای مقطع عرضی مستطیلی V_p برابر با $bd\tau_y$ می‌باشد. حدود کاربرد معادله بالا به سادگی به عنوان نتیجه‌ای از توزیع تنش برشی سهمی فرض می‌شود. به عبارت دیگر، تنش برشی ماقریم به ۱.۵ برابر تنش میانگین ماقریم که می‌تواند در فقدان تنش‌های تسليیم محوری بر مقطع عرضی: $\tau_y = 1.5 \tau_{average} = 1.5 V_{max}/bd$ وارد شود، محدود گردد.



شکل ۱۲-۱- توزیع تنش برشی و محوری در مقطع عرضی مستطیلی شکل در محدوده پلاستیک با توجه به اینکه تنش‌های محوری و برشی در محدوده y_y به ترتیب به صورت خطی و سهمی تغییر می‌کند، دایره مور را می‌توان جهت محاسبه تنش‌های اصلی برشی در هر نقطه در این ناحیه بکار برد:

$$\begin{aligned} \tau_{max} &= \sqrt{\left(\frac{\sigma_y}{\tau}\right)^2 + \tau^2} = \sqrt{\left(\frac{\sigma_y y}{\tau y_y}\right)^2 + \left[\frac{\sigma_y}{\sqrt{\tau}} \left(1 - \left(\frac{y}{y_y}\right)^2\right)\right]^2} (32-1) \\ &= \sigma_y \sqrt{\frac{1}{3} - \frac{5}{12} \left(\frac{y}{y_y}\right)^2 + \frac{1}{3} \left(\frac{y}{y_y}\right)^4} \end{aligned}$$

این معادله نشان می‌دهد که تنش اصلی برشی τ_y فقط در نقطه $y = y_y$ حاصل می‌شود و در هیچ جایی به دلیل اینکه همیشه $(y/y_y)^2$ از $(5/12)(y/y_y)$ بزرگتر است، از این مقدار فراتر نمی‌رود (یعنی، $y \leq y_y$). همچنین، محاسبه تنش برشی مینیمم در این منطقه با درنظر گرفتن مشتق اول معادله بالا برابر با صفر بدست می‌آید که مقداری نزدیک به ۸۰٪ تنش اصلی برشی τ_y را ارائه می‌دهد. این مطلب نشان می‌دهد که چگونه مقطع باید بطور موثر مورد استفاده قرار گیرد. همانطور که قسمتی از مقطع عرضی تحت کرنش‌های محوری y_y تسليیم شدند، در معیار فون

اگرچه از روشی مشابه می‌توان جهت محاسبه ظرفیت ممان کاهش‌یافته مقاطع بال پهن استفاده کرد، اما در عمل معمولاً روش مناسب‌تری برای ارائه برآورد قابل اطمینان این مقدار وجود دارد. روش دیگر در شکل ۱۳-۱ نشان داده شده است. ابتدا فرض می‌شود، تنش برشی یکنواختی به عنوان برآیند نیروی برشی اعمال شده بر جان وارد گردد که به صورت زیر محاسبه می‌شود:

$$t_w = \frac{V}{hw} \quad (33-1)$$

سپس، معیار تسلیم فون میزس برای برآورد تنش محوری ماکزیمم را می‌توان بر جان مقطع اعمال کرد (یعنی ظرفیت تنش محوری باقی‌مانده و موجود):

$$\sigma_m = \sqrt{(\sigma_y^2 - 3\tau_w^2)} = \sigma_y \sqrt{\left[1 - \left(\frac{t_w}{t_y}\right)^2\right]} \quad (34-1)$$

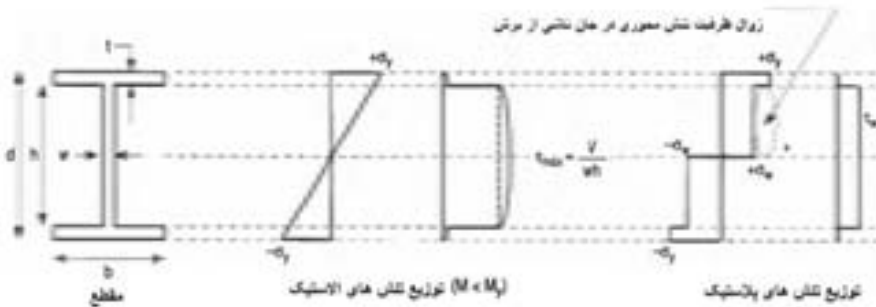
تنش محوری ماکزیمم که می‌توانند به بال اعمال شوند، σ_y باقی می‌ماند. سپس، می‌توان بطور مستقیم از دیاگرام برآیند تنش محوری، ممان پلاستیک کاهش‌یافته را بدست آورد. همچنین با استفاده از اصل جمع آثار قوا دیاگرام‌های تنش به سادگی محاسبه می‌شوند. بر همین اساس داریم:

$$M_{prv} = M_p - M_{loss} = Z_{prv} \sigma_y$$

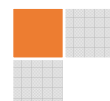
که در آن،

$$M_{loss} = \frac{h_w}{4} (\sigma_y - \sigma_w) = \frac{h_w}{4} \left[1 - \sqrt{1 - \left(\frac{t_w}{t_y}\right)^2} \right] \sigma_y = Z_{loss} \sigma_y \quad (35-1)$$

و عنوان مدول مقطع پلاستیک کاهش‌یافته در حضور برش تعريف می‌گردد. این روش تنها برای نیروهای برشی که کوچکتر مساوی با آنچه تسلیم برشی در سراسر جان تولید می‌کند، اعتبار دارد. علاوه بر این، این روش را نمی‌توان برای سایر مقاطع بسط داد، مگر اینکه این مقاطع دارای جان‌هایی باشند توانایی مقابله با مقدار نیروی برشی اعمالی در شرایطی مثل تنش‌های برشی یکنواخت را داشته باشد. به عنوان نمونه مثال، برای اشکال بال پهن تحت خمث حول محور ضعیف خود، معادلات بدست آمده برای مقطع عرضی مستطیلی عملأً مناسب‌تر می‌باشد.



شکل ۱۳-۱- توزیع تنش الاستیک و پلاستیک در شکل سازه‌ای بال پهن در معرض برش و خمث
اگرچه عبارات بیشتر دیگری برای تشریح اندکش پلاستیک برش-خمث در پژوهش‌های موجود پیشنهاد شده است و روش‌های ذکر شده برای محاسبات دستی بسیار محافظه‌کارانه و ساده‌تر می‌باشند. آزمایشات نشان داده‌اند که کاهش در



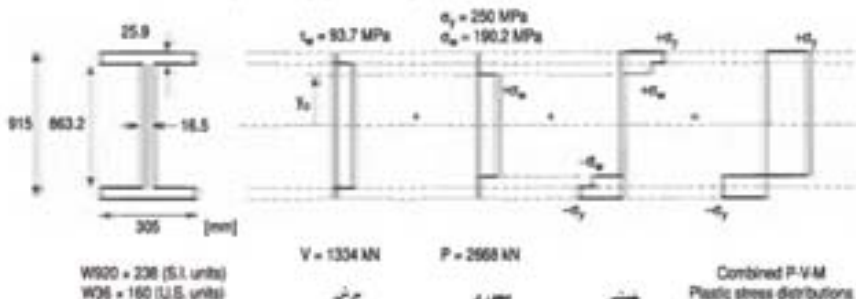
ظرفیت ممان پلاستیک در واقع کمتر از مقداری است که با معادلات فوق الذکر پیش‌بینی می‌شود (مانند: ASCE ۱۹۷۱ و Popov ۱۹۸۶، Kasai ۱۹۸۶). علاوه بر این، در اکثر حالات اثر نیروهای برشی بر ظرفیت ممان پلاستیک بسیار ناچیز است.

۱-۴- بارگذاری ترکیبی خمشی، محوری و برشی

ترکیبی از اندرکنش بارگذاری خمشی، محوری و برشی را می‌توان بواسطه اصول فوق در نظر گرفت. پیرو روش بکار گرفته شده در بخش قبلی، با اختصاص بخشی از مقطع عرضی برای مقاومت در برابر هر نوع بارگذاری بطور جداگانه، می‌توان راه حل‌ها با فرم بسته را گسترش داد. اما در اکثر حالات محاسبه مستقیم نتایج مورد نیاز از دیاگرام تنش عملاً مناسب‌تر است. برای مثال، ممان پلاستیک کاوش‌یافته یک مقطع با شکل $W920 \times 238$ زمانیکه نیروی برشی V برابر با 1334 kN و نیروی محوری P برابر با 2668 kN بطور همزمان وارد می‌گردد را می‌توان با فرض اینکه تنش تسلیم فولاد برابر با 250 MPa باشد، در ادامه محاسبه کرد (برخی از مراحل این مثال در شکل ۱-۱۴ نشان داده است).

ابتداء، تنش برشی میانگین وارد برجان مقطع بال پهن حاصل از نیروی برشی اعمالی به صورت زیر محاسبه می‌شود:

$$\tau_w = \frac{V}{wh} = \frac{1334}{(16.5)(86.2)} = 93.7 \text{ N/mm}^2 = 93.7 \text{ MPa} \quad (36-1)$$



شکل ۱-۱۴- مثالی از مقاومت پلاستیک یک شکل سازه‌ای بال پهن در معرض نیروهای خمشی، محوری و برشی

در ضمن، این مقدار تقریباً ۶۵٪ مقاومت تسلیم جان که 144.3 MPa یا $577\sigma_y$ است، می‌باشد. سپس معیار تسلیم فون میزس جهت محاسبه ظرفیت تنش محوری موجود در جان استفاده می‌شود:

$$\sigma_w = \sqrt{\sigma_y^2 - 3\tau_w^2} = \sqrt{(250)^2 - 3(93.7)^2} = 190.2 \text{ MPa} = 0.761\sigma_y \quad (37-1)$$

با ظرفیت باقی‌مانده تنش محوری جان؛ 190.2 MPa و ظرفیت تنش محوری ماقریم بال؛ 250 MPa می‌توان قسمتی از مقطع مورد نیاز برای تحمل در برابر نیروی محوری را با روشی که قبلاً بیان شد، محاسبه کرد. در این حالت اثبات می‌شود که محور خنثی در جان قرار دارد:

$$\sigma_w = 190.2 \text{ MPa} = \frac{2668}{2y(16.5)} \rightarrow y = 425 \text{ mm} < \frac{h}{2} = 431.6 \text{ mm} \quad (38-1)$$

سهمهای جان و بال‌ها برای مقاومت خمشی را می‌توان به صورت زیر اضافه کرد:

$$\begin{aligned} M_{pr-web}^{P,V} &= \frac{wh^3}{4} \sigma_w - \frac{w(2y)^2}{4} \sigma_w \\ &= \frac{(16.5)(86.2)^2}{4} (190.2) - \frac{(16.5)(85.0)^2}{4} (190.2) \\ &= 584.5 - 567 \text{ kN-m} = 17.5 \text{ kN-m} \quad (39-1) \end{aligned}$$

$$M_{pr-flange}^{P,V} = 2 \left[bt \left(\frac{d-t}{2} \right) \right] \sigma_y$$

$$\begin{aligned}
 &= (30.5)(25.9) \left(\frac{915 - 25.9}{2} \right) (25.0) \\
 &= 1755.9 \text{ kN-m}(40.1) \\
 M_{pr}^{P,V} &= M_{pr-flange}^{P,V} + M_{pr-web}^{P,V} = (1755.9 + 17.5) \text{ kN} - m = 1773.4 \\
 &\text{kN} - m \quad (41-1)
 \end{aligned}$$

که در آن، اندیس فوقانی (P, V) نشان می‌دهد که این ممان پلاستیک برای در نظر گرفتن نیروهای محوری و برشی اعمال شده کاهش پیدا می‌کند (شکل ۱۴-۱). این شکل سازه‌ای دارای مدول پلاستیک Z برابر با mm^3 $10,000,000$ می‌باشد و از این‌رو در فقدان نیروهای برشی و محوری، ممان پلاستیک متناظر برابر با $255.0 \text{ kN} - m$ می‌گردد. بنابراین ظرفیت ممان پلاستیک کاهش‌یافته در این مثال، 7% از مقدار کاهش‌یافته است.

هنگامیکه از مقدار مدول مقطع پلاستیک موجود استفاده شود (به عنوان مثال، در ۲۰۱۱ CSIC 2010 یا AISC 2010 این مقادیر جدول‌بندی شده است)، استفاده از روش کم کردن عمالاً مناسب‌تر است. در واقع، با کم کردن ممان‌های متناظر با سهم‌های نیروی محوری و برش از ممان پلاستیک با توجه به دیاگرام‌های تنش داریم:

$$\begin{aligned}
 M_{pr}^{P,V} &= M_p - M_{pr}^V - M_{pr}^P = M_p - \frac{wh^3}{4} (\sigma_y - \sigma_w) - \frac{w(2y.)^3}{4} \sigma_w \quad (42-1) \\
 &= 255.0 - 567 \text{ kN-m} = 1779.2 \text{ kN} - m
 \end{aligned}$$

نتایج بدست آمده با استفاده از روش‌های کاهشی و افزایشی، به دلیل اینکه در حالت دوم از مقدار مدول پلاستیک مقطع دستنامه استفاده شده است، کمی با هم متفاوت است. مقادیر دستنامه‌ها معمولاً شکل رندشه صیح مقطع عرضی را در تقاطع بال و جان در نظر می‌گیرند که بطور معمول هنگامیکه این ویژگی مقطع با محاسبات دستی تعیین می‌گردد، نادیده گرفته می‌شود. این تفاوت عمالاً ناچیز است.

۱-۵- پیچش پلاستیک خالص: روش تپه ماسه (sand- heap analogy)

مقاومت پیچشی پلاستیک یک مقطع عرضی را می‌توان با توسعه منطقی نتایج حاصل از تئوری الاستیسیته تعیین نمود. استخراج کامل تئوری پیچش الاستیک فراتر از محدوده این کتاب می‌باشد و معمولاً به صورت جامع در کتاب‌های درسی مقاومت مصالح پوشش داده می‌شود. هرچند برخی از نتایج مهم مورد نیاز در تئوری الاستیک که برای درک پیچش پلاستیک لازم است، در ادامه خلاصه شده است.

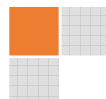
۱-۵-۱- مروری بر نتایج مهم تحلیل الاستیک

برای یک عضو سازه‌ای در پیچش خالص که محور طولی آن در راستای محور z می‌باشد، تنش‌های غیر صفر برشی τ_{zx} و τ_{zy} و مولفه‌های متقابل آنها برابر τ_{xz} و τ_{yz} بر مقطع عرضی وارد می‌شود. نماد اندیسی دوگانه در تنش‌ها را می‌توان به صورت زیر بیان نمود: اولین اندیس نشان‌دهنده جهت عمود بر سطحی است که مولفه‌های تنش بر روی آن اثر می‌کند و دومین اندیس مربوط به جهت خود تنش می‌باشد. این مقادیر را می‌توان از طریق روابط ساختاری قانون عمومی هوک تعریف نمود (به عنوان مثال: روابط تنش-کرنش). برای برقراری تعادل، معادلات دیفرانسیل با استفاده از تئوری الاستیسیته تعریف می‌گردد؛ با توجه به این مطلب رابطه زیر باید ارضا گردد:

$$\frac{\partial \tau_{zx}}{\partial x} + \frac{\partial \tau_{xz}}{\partial y} = 0 \quad (43-1)$$

معادله سازگاری برای این مسئله با مشتق گرفتن از عبارت تنش برشی حاصل از قانون عمومی هوک به صورت زیر بدست می‌آید:

$$\frac{\partial \tau_{zx}}{\partial y} + \frac{\partial \tau_{zy}}{\partial x} = \frac{\partial^2 \phi}{\partial y^2} + \frac{\partial^2 \phi}{\partial x^2} = -200 \quad (44-1)$$



که در آن، θ زاویه پیچش در واحد طول، G مدول برشی و \emptyset تابع تنش پرانتل می باشد که یک روش آسان ریاضی است که اگر تساوی زیر برقرار باشد، رابطه بالا را ارضاء می نماید:

$$\tau_{zx} = \frac{\partial \emptyset}{\partial y}; \quad \tau_{zy} = \frac{\partial \emptyset}{\partial x} \quad (45-1)$$

در امتداد لبه مقطع عرضی، تابع تنش پرانتل باید ثابت باشد و معمولاً جهت راحتی صفر در نظر گرفته می شود. بنابراین برای دستیابی به راحل الاستیک مسائل پیچش، باید تابع تنش x و y ; $\emptyset(x, y)$ که می تواند شرایط بالا را ارضاء کند، حدس زده شود. هنگامیکه این تابع شناخته شود، گشتاور مربوطه که به عضو اعمال می گردد را می توان با رابطه زیر محاسبه کرد:

$$T = 2 \iint \emptyset \partial x \partial y \quad (46-1)$$

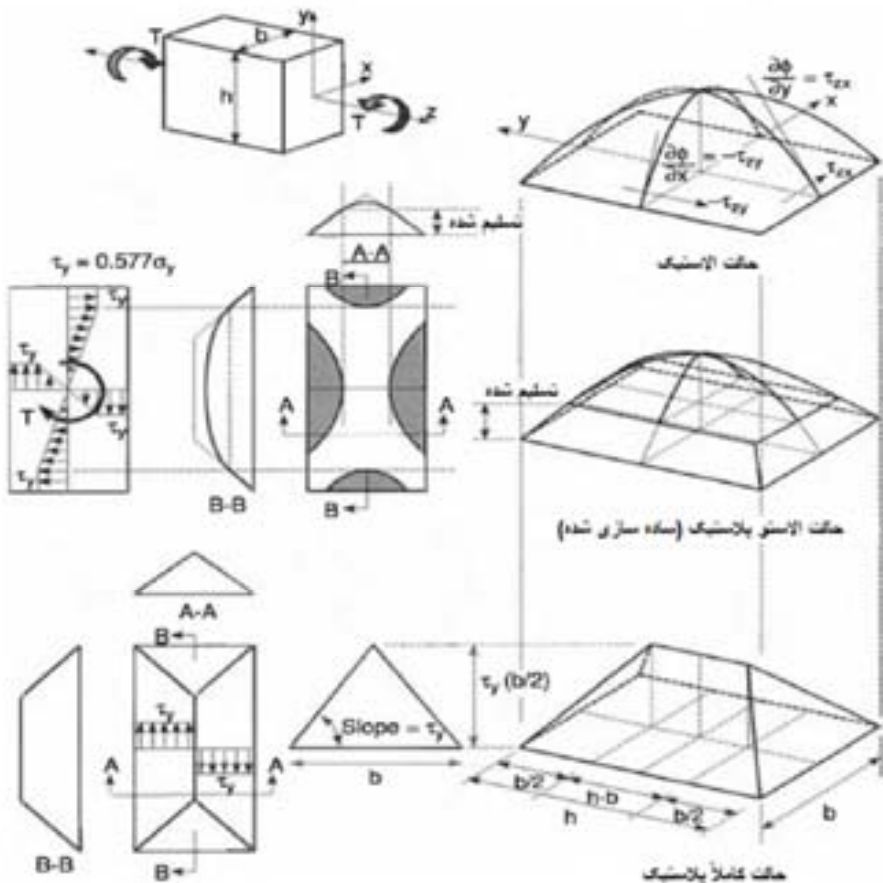
ساختار معادله دیفرانسیل تابع تنش (معادله ۴۶-۱ بالا) همانند توصیفی از خیز غشاء (حباب صابون) با همان شکل مقطع عرضی می باشد که در زیر فشار یکنواخت محبوس شده است (روش تشبیه غشایی پرانتل). مقایسه این دو عبارت نشان می دهد که تابع تنش \emptyset با خیز غشاء مطابقت دارد و تنش های برشی مطابق با شکل ۱۵-۱ در مسئله پیچش مشابه شیب غشاء می باشد. بنابراین ممان پیچشی دو برابر حجم حباب می باشد. خوانندگان گرامی می توانند برای تشریح معادلات ۴۳-۱ الی ۴۶-۱ به مطالعات Popov در سال ۱۹۶۸ و Goodier و Timoshenko در سال ۱۹۷۰ و Fenster Ugural در سال ۱۹۹۵ مراجعه کنند.

۲-۵-۱- روش تپه ماسه

با افزایش پیشرونده گشتاور اعمال شده، هنگامیکه تنش برشی در هر نقطه ای به $y_0 = 5775$ برسد، تسیلیم شدگی مقطع عرضی شروع می شود (در معیار تسیلیم فون میزس). با توجه به روش غشائی پیش بینی می شود که این امر در مکانی امتداد لبه مقطع عرضی در نقاط مرزی یا کناری نزدیک به مرکز پیچش رخ می دهد (یعنی جاییکه شیب حباب صابون بزرگترین مقدار خود را داراست). همچنین می توان مشاهده کرد، هنگامیکه گشتاور اعمالی بزرگتر می شود، تسیلیم شدگی به سمت داخل توسعه می یابد (شکل ۱۵-۱) و گشتاور پلاستیک T_p به محض تسیلیم شدگی تمام مقطع عرضی ایجاد می شود. در شرایط تسیلیم شدگی کامل مقطع، به دلیل آنکه در هر نقطه برآیند تنش نمی تواند از مقدار تنش تسیلیم برشی فراتر رود، داریم:

$$\tau = \sqrt{\tau_{zx}^2 + \tau_{zy}^2} = \sqrt{\left(\frac{\partial \emptyset}{\partial y}\right)^2 + \left(\frac{\partial \emptyset}{\partial x}\right)^2} = |\nabla \emptyset| = \tau_y = \frac{\sigma_y}{\sqrt{2}} \quad (47-1)$$

که نشان می دهد، شیب ماکزیمم در تمام نقاط در شرایط پلاستیک کامل باید با مقدار تنش تسیلیم برشی برابر باشد. با این آگاهی، سطح پلاستیک \emptyset نسبتاً ساده ای را می توان ساخت و این مطلب که دو برابر سطح زیر منحنی اندازه گشتاور پلاستیک مربوطه را می دهد، همچنان صحیح است. شکل سطح پلاستیک را می توان با یک تپه ماسه مقایسه کرد. هنگامیکه ماسه خشک روی میز شبیه به مقطع عرضی ریخته می شود، شکل حاصله به دلیل اینکه ماسه خشک تنها در یک شیب معین پایدار می ماند، به سطح پلاستیک مربوطه شباهت خواهد داشت. همچنین، این شیب در بالای مقطع عرضی ثابت است که در واقع بیانگر روش آزمایش تپه ماسه می باشد.



شکل ۱-۱۵- مقطع عرضی مستطیلی در معرض گشتاور که به صورت پیشرونده تا رسیدن به گشتاور پلاستیک افزایش می‌باید.

برای مثال، برای یک مقطع عرضی مستطیلی، سطح پلاستیک مطابق با ۱۵-۱ به شکل یک هرم مستطیلی با شیب τ_y می‌شود و گشتاور پلاستیک مربوطه نیز به صورت زیر محاسبه می‌شود:

$$T_p = 2(\emptyset) \text{ حجم زیر تابع تنش}$$

$$= 2 \left[\frac{b}{2} \left(\frac{b\tau_y}{2} \right) (h - b) \right] + \frac{1}{2} \left(\frac{b\tau_y}{2} \right) b^2 = 2\tau_y \frac{b^3}{6} \left[\frac{h}{b} - 1 \right] + \frac{1}{2} b^2 = \tau_y \frac{b^3}{3} \left(\frac{h}{b} - 1 \right) + \frac{1}{2} b^2 = Z_T \tau_y (48-1)$$

که در آن، Z_T مدول مقطع پلاستیک پیچشی می‌باشد. نتایج برای تعدادی از مقاطع همراه با نسبت متناظر گشتاور کاملاً پلاستیک به گشتاور ماکزیمم الاستیک در جدول ۱-۱ نشان داده شده است.

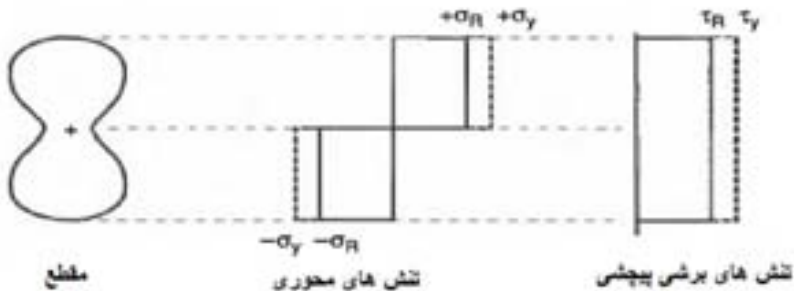
جدول ۱-۱- گشتاورهای پلاستیک و ضرایب شکل پیچشی برای برخی از اشکال سازه‌های

Cross section	T_p	T_p/T_E
	$\tau_y t^2 \left[\frac{d}{2} + b - \frac{7t}{6} \right]$	$\approx \frac{3}{2} \left[\frac{2p_f + p_t^3 p_w}{2(p_f - 0.63) + p_t^4 (p_w - 0.63)} \right]$ where $p_f = \frac{b}{t}$; $p_t = \frac{w}{t}$
	$\tau_y \left[t^2 \left(b - \frac{t}{3} \right) + \frac{w^2}{2} \left(d - 2t + \frac{w}{3} \right) - tw^2 \right]$ $= \frac{1}{2} [2t^2 b + w^2(d - 2t)] \tau_y$	and $p_w = \frac{(d - 2t)}{w} = \frac{h}{w}$ = 1.80 for W shapes = 1.67 for WWF shapes
	$\tau_y t^2 \left[b + d - \frac{4t}{3} \right]$	—
	$\frac{\tau_y}{2} [bt^2 + dw^2 - \frac{t^3}{3} - w^2 t]$	—
	$\frac{\tau_y}{2} [bt^2 + dw^2 - \frac{w^3}{3} - t^2 w]$	—
	$\frac{1}{2} \tau_y a^3 \left[\frac{b}{a} - \frac{1}{3} \right] = \frac{ba^2 \tau_y}{2}$ if $b \gg a$	1.605 if $b/a = 1.0$ 1.690 if $b/a = 2.0$ 1.590 if $b/a = 4.0$ 1.500 if $b/a = \infty$
	$\frac{2\pi}{3} \tau_y (R^3 - r^3)$ $= 2\pi \tau_y \left(R - \frac{t}{2} \right)^2 t$ if $(R - r) = t = \text{small}$	1.33 1.0
	$\frac{B^2}{12} \tau_y = 2\sqrt{3} r^2 \tau_y$	1.67
	$\frac{2\pi}{3} a^3 \left[1 - 4.5 \left(\frac{b}{a} \right)^2 + 4 \left(\frac{b}{a} \right)^3 \right] \tau_y$	$1.33 \left[\frac{1 - 4.5\beta^2 + 4\beta^3}{1 - \beta - \beta^2 + \beta^3} \right]$ where $\beta = b/a$

۶- ترکیب خمس و پیچش

اندرکنش خمس و پیچش نیز نیازمند در نظر گرفتن روابط پلاستیک بین تنش های محوری و برشی با بکارگیری معیار تسلیم فون میزس می باشد. اصول پیشین برای تعیین معادلات اندرکنش پیچشی خمسی را می توان به شرح زیر توسعه داد.

ابندا، فرض می کنیم که به دلیل اندرکنش پیچشی/خمسی، تنها ظرفیت تنش محوری کاهش یافته؛ $\sigma_y < \sigma_R$ و ظرفیت تنش برشی کاهش یافته؛ $\tau_y < \tau_R$ مطابق با شکل ۱-۱۶، به ترتیب جهت مقاومت در برابر ممان و گشتاور اعمال شده موجود است.



شکل ۱-۱۶- وضعیت تنش برشی و محوری کاهش‌یافته طی اندرکنش پلاستیک خمس-پیچش

سپس، معیار تسلیم فون میزس بازنویسی می‌شود:

$$\sigma^2 + 3\tau^2 = \left(\frac{M_{pr}^T}{Z}\right)^2 + 3\left(\frac{T_{pr}^M}{Z_T}\right)^2 = \sigma_y^2 (49-1)$$

که در آن، M_{pr}^T ممان پلاستیک کاهش‌یافته در حضور پیچش و T_{pr}^M گشتاور پیچشی پلاستیک کاهش‌یافته در حضور خمس می‌باشد. با جایگزین کردن مقادیر Z و Z_T در معادله بالا، این معادله به صورت زیر بازنویسی می‌شود:

$$\left(\frac{M_{pr}^T}{M_p}\right)^2 + \left(\frac{T_{pr}^M}{T_p}\right)^2 = 1 (50-1)$$

سپس برای هر مقدار ممان اعمال شده M ، گشتاور پلاستیک متضایر با آن را می‌توان به صورت زیر توسعه داد:

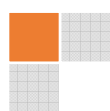
$$T_{pr}^M = T_p \sqrt{1 - \left(\frac{M}{M_p}\right)^2} (51-1)$$

همانطور که می‌دانیم، معادلات اندرکنش مشابه را می‌توان با همان روش برای تعیین اندرکنش نیروی محوری و پیچش و همچنین اندرکنش خمس، نیروی محوری و پیچش توسعه یابد. معادلات اندرکنشی که براساس توزیع فرضی تنش‌ها، تعادل را ارضا می‌کنند، محافظه کارانه و قابل اطمینان هستند. شایان ذکر است این معادلات در فصل بعدی براساس تئوری کران پایین تشریح می‌گردد.

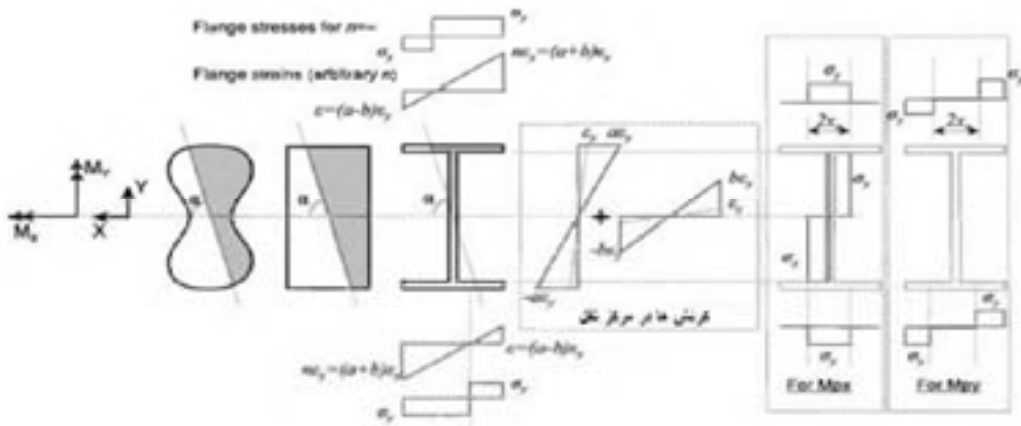
۱- خمس دو محوره

۱-۱- اصول کلی

خمس دو محوره تنها منجر به تنش‌ها و کرنش‌های محوری در مقطع عرضی می‌شود. در نتیجه مقاومت‌های پلاستیک تحت خمس دو محوره و دیاگرام‌های اندرکنش متضایر، مقاومت‌های خمی حول دو محور اصلی را نشان می‌دهد که با توجه به اصول بیان شده در بخش‌های ۱-۱ و ۲-۱ بدست می‌آیند. برای این مورد چند روش مختلف نیز را می‌توان بکار برد. همانطور که در بخش ۲-۷-۱ شرح داده خواهد شد، ابتدا برنامه‌ای با هدف تحلیل مقطع عرضی را می‌توان جهت انجام محاسبات خودکار، بر اساس یک مدل فیبری توسعه داد. دوم؛ برای مقاطع عرضی مشخص، ممکن است راه حل‌ها با فرم بسته میسر باشد. هنگامیکه مقطع عرضی رفتار پلاستیک را تجربه می‌کند، ممکن است دستیابی به توزیع تنش برای جفت ممان‌های اعمال شده به سادگی صورت نگیرد. اما متقابلاً محاسبه ممان‌ها برای یک جهت معین از محور خنثی؛ α با هم برای کرنش‌های موجود نسبتاً آسان است (حتی اگر در بعضی از موارد پیچیدگی جبری قابل توجه باشد). ممان‌های پلاستیک حول محورهای متعامد اصلی (به خصوص برای مقطع عرضی که بطور کامل پلاستیک شده است) در اثر وقوع همزمان کاهش می‌یابد که می‌توان آن را محاسبه کرد. نتایج معمولاً برای محورهای متعامد که با لبه‌های مقطع عرضی



موازی هستند، ارائه می شود که به صورت شماتیک برای یک شکل سازه ای بال پهن در شکل ۱۷-۱ نشان داده شده است که می توان از دیگر جهت های مناسب جبری نیز استفاده کرد. برای مثال مقاومت پلاستیک مقاطع دایره ای به α وابسته نیست، در این حالت مسئله خمش دو محوره به خمش تک محوره حول محور برآیند ممان اعمال شده کاهش می یابد. راه حل ها با فرم بسته برای حالت مهمی از یک مقطع بال پهن در ادامه ارائه می شود. همچنین این معادلات می توانند برای صحبت سنجی نتایج بدست آمده طی توسعه ابزار تحلیل محاسباتی بر اساس مدل فیری مفید باشد.



شکل ۱۷-۱- توزیع تنش پلاستیک برای ممان پلاستیک در خمش دو محوره

۱-۱-۷-۳- پلاستیک شدگی کامل مقطع بال پهن تحت خمش دو محوره

همانطور که در شکل ۱۷-۱ مشاهده می کنیم، وضعیت کاملاً پلاستیک یک مقطع بال پهن تحت خمش دو محوره به نمایش درآمده است. در این شرایط محور خنثی باید برای توسعه ممان پلاستیک حول محور ضعیف، بال را به دو نیم تقسیم کند. همچنین توجه داریم که محورهای x و y لاطرو دلخواه در جهت مثبت ممان های پلاستیک قرار دارند. ممان های مثبت مطابق با "قانون دست راست" به نحوی اعمال شده اند که گوشه راست بالای مقطع تحت فشار قرار می گیرد. به منظور تسریع در محاسبات، علم بر این نکته بسیار مهم است که دیاگرام های تنش را می توان به زیر مولفه های توزیع تنش تجزیه نمود (همانطور که در شکل ۱-۱ نشان داده شد). با توجه به این دیدگاه، دیاگرام های تنشی را که می باشند برای محاسبه ممان پلاستیک کاهش یافته حول هر دو محور در نظر گرفت، بطور جداگانه در شکل ۱۷-۱ رسم شده است.

برای یک محور خنثی که بال را در فاصله x از مرکز نقل مقطع عرضی به دو نیم تقسیم می کند، ممان پلاستیک

حول محور زیر صورت زیر بدست می آید:

$$M_{pr-y}^{Mx} = 2[M_{pyf} - M_{pyf,x}] = 2\left[\left(\frac{tb^3}{4}\right) - \left(\frac{t(2x)^2}{4}\right)\right]F_y = \left[\frac{tb^3}{2} - 2x^2\right]F_y \quad (52-1)$$

توجه داریم که جان مشارکتی در M_y ندارد و M_{pyf} ممان پلاستیک یک بال حول محور y و $M_{pyf,x}$ ممان پلاستیک برای طول $2x$ این بال می باشد. نماد بکار رفته برای بیان ممان پلاستیک کاهش یافته بیانگر ممان موجود در جهات متضاد بوده که پیشتر نحوه دستیابی به آن معرفی شده است. همچنین با نرمال کردن ممان پلاستیک برای کل حول این محور مجدداً سهم کوچک جان نادیده گرفته می شود:

$$\frac{M_{pr-y}^{Mx}}{M_{py}} = \frac{\left[\left(\frac{tb^3}{4}\right) - \left(\frac{t(2x)^2}{4}\right)\right]F_y}{\left(\frac{tb^3}{4}\right)F_y} = \left[1 - \frac{4x^2}{b^2}\right] = (1 - \beta^2) \quad (53-1)$$

که در آن، $\beta = (b/2) - x$ می‌باشد که موقعیت محور خنثی را به عنوان جزئی از فاصله لبه بال تعیین می‌کند که در اینجا جهت ساده‌سازی معادلات معرفی شده است.

با تفاضل ممان پلاستیک کل حول جهت x از ممانی که توسط بخشنی از بال که در جهت متعامد مقاومت می‌کند (این بخش‌ها دارای نیروهای برابر و مخالف بوده که یکدیگر را در هر بال مربوطه خنثی می‌نمایند). ممان کاهش‌یافته متضاد با سهم زیر مولفه‌های دیاگرام تنش به صورت زیر تعریف می‌شود:

$$M_{pr-x}^{My} = M_{px} - M_{px,loss} = M_{px} - [(b - 2x)t(d - t)]F_y \quad (54-1)$$

نرمال کردن آن نیز توسط ممان پلاستیک برای کل مقطع حول این محور به صورت زیر می‌گردد:

$$\frac{M_{pr-x}^{My}}{M_{px}} = \frac{M_{px} - [(b - 2x)t(d - t)]F_y}{M_{px}} = \left[1 - \frac{[(b - 2x)t(d - t)]}{\left[A_f(d - t) + \frac{A_w h}{4} \right]} \right] \quad (55-1)$$

با فرض تقریبی $(d - t) \approx h$ و در صورتیکه $A_w = hw$ و $A_f = bt$ باشد، معادله بالا را می‌توان بر حسب A_f/A_w بازنویسی کرد:

$$\frac{M_{pr-x}^{My}}{M_{px}} = \left[1 - \frac{(b - 2x)t}{A_f + \frac{A_w}{4}} \right] = \left[1 - \frac{\left[\frac{A_f}{A_w} - \frac{2x \cdot t}{A_w} \right]}{\left[\frac{A_f}{A_w} + 1 \right]} \right] = \left[\frac{1 + \frac{A_f \beta}{A_w}}{1 + \frac{A_f}{A_w}} \right] \quad (56-1)$$

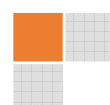
با استفاده از معادله ۵۶-۱ و هم چنین معادله ۵۳-۱ می‌توان عبارت β را تعیین نمود که با توجه به این مقدار معادله اندرکنش مرتبط با مقاومت‌های خمی کاهش‌یافته نرمال شده به صورت زیر بیان می‌گردد:

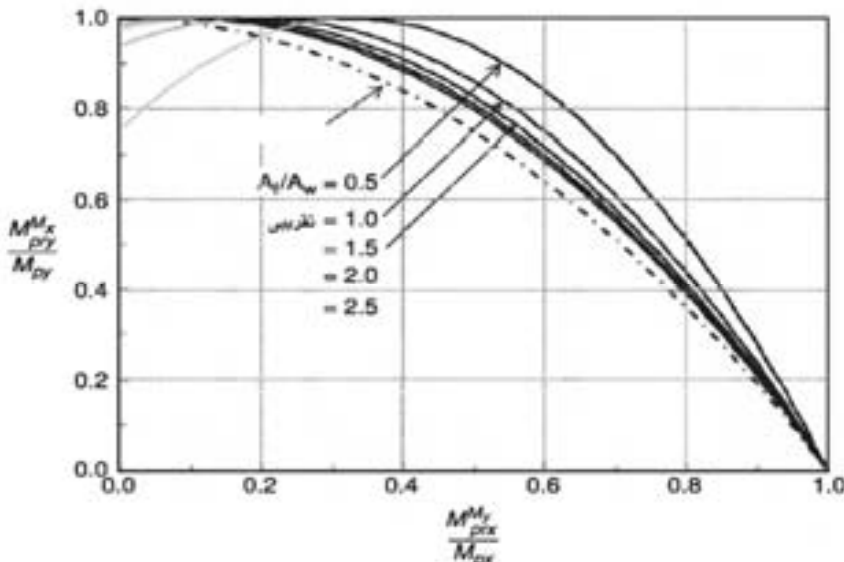
$$\frac{M_{pr-y}^{Mx}}{M_{py}} + \frac{\left[\left(1 + \frac{A_f}{A_w} \right) \frac{M_{pr-x}^{My}}{M_{px}} - 1 \right]}{\left(\frac{A_f}{A_w} \right)} = 1.0 \quad (57-1)$$

که در شکل ۱۸-۱ رسم شده است. توجه داریم که به عنوان نتیجه‌ای از فرضیات و ساده‌سازی‌های بالا، ظرفیت خمی حول محور x می‌تواند به کمتر از ممان پلاستیک جان $M_{px,web}$ کاهش یابد. به عبارت دیگر، در مدل فوق تنها بال‌ها در برابر ممان در جهت x مقاومت می‌کند و جان همیشه برای مقاومت در مقابل خمش حول محور x می‌باشد. شکل ۱۸-۱ بواسطه خطوط نقطه چین، محدوده‌ای که منحنی‌های رسم شده نامعتبر هستند را نشان می‌دهد؛ یعنی زیر نقاط برابر با M_{px-web}/M_{px} می‌باشد و همانطور که مشاهده می‌کنیم تابع A_f/A_w می‌باشد.

و همکاران (۱۹۸۷)، یک معادله اندرکنش تقریبی محافظه‌کارانه‌ای برای استخراج منحنی اندرکنش مشابه پیشنهاد دادند که در شکل ۱۸-۱ به صورت خط-نقطه نشان داده شده است. زمانیکه $A_f/A_w = \infty$ است، در این حالت معادله ۵۷-۱ به صورت زیر می‌گردد:

$$\frac{M_{pr-y}^{Mx}}{M_{py}} + \left[\frac{M_{pr-x}^{My}}{M_{px}} \right] = 1.0 \quad (58-1)$$





شکل ۱-۱۸-۱- دیاگرام اندرکنش نرمال شده خمش دو محوره پلاستیک برای اشکال سازه‌ای بال پهن
۱-۲-۱- پلاستیک شدگی نسبی مقطع بال پهن تحت خمش دو محوره

دیاگرام‌های اندرکنش خمش دو محوره را می‌توان به همین نحو برای وضعیت مقطعی که به صورت نسبی پلاستیک شده است، بددست آورد (Mrazik و همکاران، ۱۹۷۸). در این حالت، برای تعیین اینکه پلاستیک شدگیدر جان و یا اینکه در لبه بال‌ها توسعه‌یافته یا خیر، به مجموعه‌ای از معادلات نیاز داریم. این شرایط گوناگون در شکل ۱-۱۹ برای توزیع‌های مختلف کرنش که در همه آنها مقدار ماکریتم $n\varepsilon_y$ در قسمت بالا و راست مقطع بال پهن مشترک است، نشان داده شده است که x_i فاصله از محور عمودی مقطع به موازات نقطه‌ای است که محور خنثی بال را به دو نیم تقسیم می‌کند و ε_f فاصله از نقطه دوم تا نقطه‌ای است که در آنجا کرنش برای اولین بار به رعایت می‌رسد. روابط جبری که به کرنش‌های موقعیت‌های مختلف در طول بال مربوط می‌باشد، برای تمام توزیع‌های کرنش که در اینجا در نظر گرفته شده است، معتبر باقی می‌مانند.

با استفاده از تشابه مثلثات داریم:

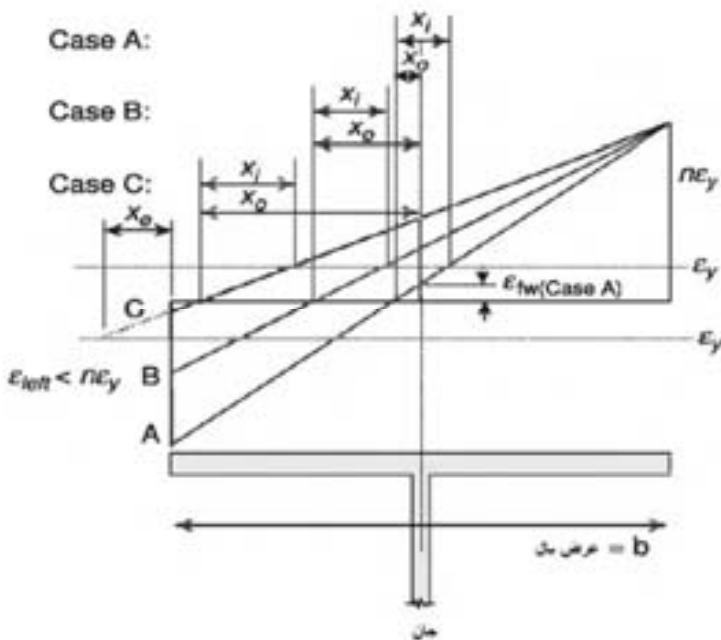
$$x_i = \frac{b}{\gamma_0} \left(1 + \frac{\gamma_0 x_i}{b} \right) \rightarrow \frac{x_i}{x_i} = \frac{1}{n} \left[\frac{\beta+1}{\beta} \right] \quad (59-1)$$

و کرنش در نقطه تقاطع جان به بال؛ ε_{fw} به صورت زیر است:

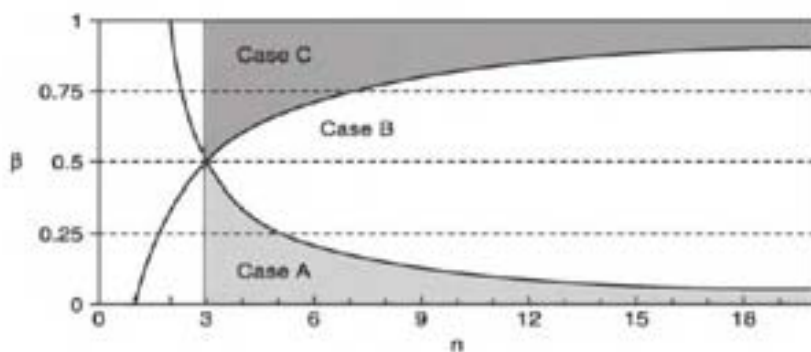
$$\varepsilon_{fw} = \frac{x_i}{x_i} \varepsilon_y \quad (60-1)$$

هنگامیکه $x_i \geq x$. می‌باشد، پلاستیک شدگیه سمت جان توسعه می‌باید و موقعیت کرنش تسلیم * لادر فاصله‌ای در امتداد جان از محور خنثی می‌باشد:

$$y^* = \frac{h}{\gamma_0} \left(\frac{x_i}{x_i} \right) = \frac{h}{\gamma_0} \left[\frac{\beta+1}{\beta} \right] \quad (61-1)$$



شکل ۱۹-۱- توزیع کرنش در بال برای حالات خمش دو محوره با در نظر گرفتن پلاستیک شدگی نسبی همچنین می‌توان نشان داد که جان در امتداد $(1/n - 1)\beta \leq x_i \leq x_0$ و نوک‌های بال نیز تا زمانیکه $(1/n + 1)/\beta \leq x_i \leq x_0$ برقرار است، پلاستیک باقی می‌ماند. شکل ۲۰-۱ محدوده‌های از کاربرد معادلات اندرکنش را بطور جداگانه نشان می‌دهد (همانطور که می‌دانیم در اینجا راه حل‌ها فقط برای $n \geq 2$ ارائه شده است). مجدداً، این نتایج با توانایی تجزیه دیاگرام‌های تنش به زیر مولفه‌های توزیع تنش، برای تسريع در روند محاسبات توسعه داده شده است. برخی از زیر مولفه‌های بکار رفته برای این منظور در شکل ۲۱-۱ نشان داده شده است.



شکل ۲۰-۱- محدوده کاربرد معادلات دو محوره

برای حالتی که $x_i \geq x_0 + (b/2)$ و پلاستیک شدگی در جان و هردو بال توسعه یافته است (حالات در شکل ۱۹-۱) داریم:

$$\frac{M_y}{M_{py}} = 1 - \beta^2 - \frac{1}{n} (1 + \beta)^2 (62-1)$$

